

การเพิ่มสมรรถนะเครื่องปรับอากาศแบบอัดไอด้วยการทำความเย็นให้กับอากาศ
แบบระเหยน้ำที่คอนденเซอร์แบบระบบความร้อนด้วยอากาศ

IMPROVEMENT THE PERFORMANCE OF VAPOR-COMPRESSION AIR CONDITIONER
BY EVAPORATIVE PRE-COOLING OF AIR FOR AIR-COOLED CONDENSER

นายทรงพล เพิ่มทรัพย์

นายดำรงษ์ เจรัสต์

นายทนงเดช ประดี

โครงการนี้เป็นส่วนหนึ่งของการศึกษาตามหลักสูตรปริญญาวิศวกรรมศาสตรบัณฑิต
ภาควิชาวิศวกรรมเครื่องกล คณะวิศวกรรมศาสตร์

มหาวิทยาลัยบูรพา

ปีการศึกษา 2546

IMPROVEMENT THE PERFORMANCE OF VAPOR-COMPRESSION AIR CONDITIONER
BY EVAPORATIVE PRE-COOLING OF AIR FOR AIR-COOLED CONDENSER

Mr. Songpon Permsup

Mr. Damrong Kejonsat

Mr. Tanongdet Pratee

An Engineering Project Submitted in Partial Fulfillment of Requirements

For the Degree of Bachelor of Engineering

Department of Mechanical Engineering

Burapha University

2003

หัวข้อโครงการ	การเพิ่มสมรรถนะเครื่องปรับอากาศแบบอัจฉริยะในการทำความเย็นให้กับ อากาศแบบเรียบๆที่ค่อนเด่นเชอร์เบนบายความร้อนด้วยอากาศ
โดย	นายทรงพล เพิ่มทรัพย์ นายคำรังษี เจรัสต์ นายหนงเดช ประดี
ภาควิชา	วิศวกรรมเครื่องกล
ปีการศึกษา	2546
อาจารย์ที่ปรึกษา	อาจารย์อุทัย ประพิชชิณะ
อาจารย์ที่ปรึกษาร่วม	อาจารย์มัณฑนา รังสิโยกาส

ภาควิชาวิศวกรรมเครื่องกล คณะวิศวกรรมศาสตร์ มหาวิทยาลัยบูรพา อนุมัติโครงการทาง
วิศวกรรมนี้เป็นส่วนหนึ่งของการศึกษาตามหลักสูตรปริญญาวิศวกรรมศาสตรบัณฑิต

..... หัวหน้าภาควิชาวิศวกรรมเครื่องกล^{.....}
(อาจารย์กาวิณี สักดิ์สุนทรศิริ)

..... อ. อ. อาจารย์ที่ปรึกษา^{.....}
(อาจารย์อุทัย ประพิชชิณะ)

..... อ. อ. อาจารย์ที่ปรึกษาร่วม^{.....}
(อาจารย์มัณฑนา รังสิโยกาส)

คณะกรรมการสอนโครงการ

..... อ. อ. ประธานกรรมการ^{.....}
(อาจารย์อุทัย ประพิชชิณะ)

..... อ. อ. กรรมการ^{.....}
(อาจารย์มัณฑนา รังสิโยกาส)

..... อ. อ. กรรมการ^{.....}
(อาจารย์กาวิณี สักดิ์สุนทรศิริ)

..... อ. อ. กรรมการ^{.....}
(อาจารย์กัลพงศ์ จันท์เปรมจิตต์)

บทคัดย่อ

นายทรงพล เพิ่มทรัพย์ นายดำรงษ์ เจรัสดัย และนายทanhเดช ประตี : การเพิ่มสมรรถนะเครื่องปรับอากาศแบบอัดไอลด้วยการทำความเย็นให้กับอากาศแบบบخارเหนี่ยวที่คอนденเซอร์แบบระบบระบายความร้อนด้วยอากาศ (Improvement the performance of vapor-compression air conditioner by evaporative pre-cooling of air for air-cooled condenser) อาจารย์ที่ปรึกษา : อาจารย์อุทัย ประสะพิชชานะ และอาจารย์มัณฑนา รังสิตโยกาส, 58 หน้า

โครงการงานทางวิศวกรรมนี้มีวัตถุประสงค์เพื่อทดสอบสมรรถนะเครื่องปรับอากาศแบบอัดไอลด้วยการทำความเย็นให้กับอากาศแบบบخارเหนี่ยวที่คอนденเซอร์แบบระบบระบายความร้อนด้วยอากาศ และได้ศึกษาถึงปัจจัยของความเร็วและอุณหภูมิกระปาบแห้งของอากาศที่ผ่านคอนденเซอร์ โดยแบ่งการทดสอบออกเป็น 2 ขั้นตอน โดยขั้นตอนแรกเป็นการทดสอบสมรรถนะของเครื่องปรับอากาศแบบปกติ ส่วนขั้นตอนที่สอง เป็นการทดสอบสมรรถนะของเครื่องปรับอากาศโดยมีการติดตั้งชุดอุปกรณ์ทำความเย็นแบบบخارเหนี่ยวให้กับอากาศที่คอนденเซอร์ ซึ่งในการทดสอบขั้นตอนนี้ จะมีการศึกษาถึงปัจจัยความเร็วของอากาศที่ผ่านคอนденเซอร์ด้วย โดยมีการปรับเปลี่ยนค่าความเร็วของอากาศเป็น 1.36, 2, 3, 4, 6.3 m/s ตามลำดับ สำหรับอุณหภูมิของอากาศก่อนผ่านเข้าชุดทดสอบที่คอนденเซอร์ ซึ่งเปรียบเสมือนเป็นอุณหภูมิสิ่งแวดล้อมจะถูกควบคุมโดยใช้เครื่องทำความร้อน ซึ่งอุณหภูมิที่ทำการทดสอบมีค่าเป็น 30, 35, 40 °C ตามลำดับ

ในการทดสอบสมรรถนะจะพิจารณาจากค่า EER และค่า COP รวมของระบบซึ่งผลจาก การทดสอบพบว่าเมื่อติดตั้งชุดอุปกรณ์ทำความเย็นให้กับอากาศแบบบخارเหนี่ยวประกอบเข้ากับชุดคอนденเซอร์ยูนิต โดยมีความเร็วของอากาศที่ผ่านคอนденเซอร์เป็น 1.36 m/s (ไม่เปิดพัดลมที่ชุดทำความเย็นให้กับอากาศ) จะช่วยให้ประหยัดพลังงานไฟฟ้าเมื่อเทียบกับกรณีที่เปิดเครื่องปรับอากาศปกติ โดยมีค่า EER และ COP เพิ่มขึ้นเฉลี่ย 6.89% สำหรับที่ความเร็วอื่นๆ มีค่า EER และ COP เฉลี่ยต่ำกว่ากรณีเครื่องปรับอากาศปกติ

คำสำคัญ : การทำความเย็นให้กับอากาศแบบบخارเหนี่ยว

Abstract

Mr. Songpon Permsup, Mr. Damrong Kejonsat and Mr. Tanongdet Pratee : Improvement the performance of vapor-compression air conditioner by evaporative pre-cooling of air for air-cooled condenser. Thesis Advisor : Mr. Uthai Prasopchingchana and Miss Montana Rungsiyopa, 58 pp.

This engineering project aims to evaluate the performances of a vapor-compression air conditioner by installing evaporative cooling of air in the condensing unit and to study the effects of the ambient air velocity and its temperature. The experiments are separated into two cases: Case 1 is a general performance testing. Case 2 is a testing which the equipment combines the evaporative pre-cooling set in the condensing unit. In case 2, the velocity of the ambient air are 1.36, 2, 3, 4 and 6.3 m/s which its temperatures are 30, 35, 40 °C.

For performance testings, EER and COP of the system for both cases are compared and the result shows that at the velocity of ambient air is 1.36 m/s (fan of evaporative pre-cooling set is not operated), the system can save energy when comparing with case 1 and EER and COP (average) increases about 6.89%. For other velocities, EER and COP (average) are lower than in case 1.

Keyword: evaporative pre-cooling of air

กิตติกรรมประกาศ

การจัดทำโครงการนี้สำเร็จลุล่วงไปด้วยดี ด้วยได้รับความกรุณา และความประณานาคีจาก
อาจารย์อุทัย ประพัชิษฐะ และ อาจารย์มัณฑารังสิโยกาส ซึ่งเป็นอาจารย์ที่ปรึกษาโครงการที่
กรุณาให้คำแนะนำ สั่งสอนและเสนอแนะ ตลอดเวลาที่ทำโครงการ จึงขอกราบขอบพระคุณท่าน
อาจารย์เป็นอย่างสูง

ขอขอบคุณคณะวิศวกรรมศาสตร์ มหาวิทยาลัยบูรพา เป็นอย่างสูงที่ได้กรุณาให้ทุน
สนับสนุนในการดำเนินโครงการ

ขอขอบคุณคณาจารย์ภาควิชาวิศวกรรมเครื่องกล และบุคลากรคณะวิศวกรรมศาสตร์ทุก
ท่านที่ได้กรุณาช่วยเหลือในด้านต่างๆ

ขอบคุณเพื่อนๆ ทุกคนที่ช่วยเป็นกำลังใจในการทำโครงการนี้

สารบัญ

บทคัดย่อภาษาไทย	หน้า
บทคัดย่อภาษาอังกฤษ	ๆ
กิตติกรรมประกาศ	ก
สารบัญ	ง
สารบัญตาราง	จ
สารบัญรูป	ช
รายการสัญลักษณ์และคำย่อ	ซ

บทที่ 1. บทนำ

1.1 บทนำ	1
1.2 วัตถุประสงค์	1
1.3 ขอบเขตของการทำโครงการ	1
1.4 แผนการดำเนินงาน	2
1.5 ประโยชน์ที่คาดว่าจะได้รับ	2

บทที่ 2. ทฤษฎีและงานวิจัยที่เกี่ยวข้อง

2.1 การปรับอากาศด้วยเครื่องปรับอากาศแบบอัตโนมัติ	3
2.2 เครื่องปรับอากาศแบบอัตโนมัติชนิดแบบแยกส่วน	3
2.3 คุณสมบัติของอากาศชีน	5
2.4 ไซโคลเมตริกชาร์ท	6
2.5 กฎข้อหนึ่งของเทอร์โมไดนามิกส์สำหรับระบบเปิดชนิดมวล และพลังงานภายในระบบเปิดไม่เปลี่ยนแปลง	8
2.6 ค่าสัมประสิทธิ์สมรรถนะ (Coefficient of Performance)	8
2.7 อัตราส่วนประสิทธิภาพพลังงาน (EER)	9
2.8 หลักการของระบบทำความเย็นแบบระเหย	10
2.9 ทฤษฎีการคำนวณอัตราการระเหยของน้ำที่ผ่านคูลลิ่งแพด	13
2.10 สมการพื้นฐานสำหรับปริมาตรความคุณ	14

	หน้า
บทที่ 3. อุปกรณ์และวิธีการทดลอง	16
3.1 อุปกรณ์ที่ใช้ในการทดลอง	16
3.2 วิธีการทดลอง	21
 บทที่ 4. ผลการทดลองและอภิปรายผลการทดลอง	26
4.1 ผลการทดลอง	27
4.2 วิเคราะห์และอภิปรายผลการทดลอง	30
 บทที่ 5. สรุปผลการดำเนินงานและข้อเสนอแนะ	38
5.1 สรุปผลการการดำเนินโครงการ	38
5.2 ข้อเสนอแนะ	39
 เอกสารอ้างอิง	40
ภาคผนวก ก.	41
ภาคผนวก ข.	42
ภาคผนวก ค.	56
ประวัติผู้ทำรายงาน	58

สารบัญตาราง

ตารางที่	หน้า
1.1 แผนการดำเนินงาน	2
2.1 แสดงการกำหนดระดับประสิทธิภาพ และค่าเฉลี่ยของการใช้พลังงาน	9
4.1 ผลการทดสอบสภาพอากาศภายในห้องทดลองเฉลี่ย	27
4.2 ผลการทดสอบสภาพอากาศภายนอกห้องทดลองเฉลี่ย	28
4.3 การวิเคราะห์สมรรถนะของเครื่องปรับอากาศแบบอัตโนมัติ	29
ข.1 ผลการทดสอบสภาพอากาศในห้องทดสอบครั้งที่ 1	42
ข.2 ผลการทดสอบสภาพอากาศในห้องทดสอบครั้งที่ 2	43
ข.3 ผลการทดสอบสภาพอากาศในห้องทดสอบครั้งที่ 3	44
ข.4 ผลการทดสอบสภาพอากาศในห้องทดสอบครั้งที่ 4	45
ข.5 ผลการทดสอบสภาพอากาศในห้องทดสอบครั้งที่ 5	46
ข.6 ผลการทดสอบสภาพอากาศในห้องทดสอบครั้งที่ 6	47
ข.7 ผลการทดสอบสภาพอากาศในห้องทดสอบเฉลี่ย	48
ข.8 ผลการทดสอบสภาพอากาศในห้องทดสอบครั้งที่ 1	49
ข.9 ผลการทดสอบสภาพอากาศในห้องทดสอบครั้งที่ 2	50
ข.10 ผลการทดสอบสภาพอากาศในห้องทดสอบครั้งที่ 3	51
ข.11 ผลการทดสอบสภาพอากาศในห้องทดสอบครั้งที่ 4	52
ข.12 ผลการทดสอบสภาพอากาศในห้องทดสอบครั้งที่ 5	53
ข.13 ผลการทดสอบสภาพอากาศในห้องทดสอบครั้งที่ 6	54
ข.14 ผลการทดสอบสภาพอากาศในห้องทดสอบเฉลี่ย	55

สารบัญรูป

รูปที่

รูปที่	หน้า
2.1 โครงสร้างภายในของชุดคอมเพรสเซอร์	3
2.2 ชุดคอนเดนซิ่งยูนิต	4
2.3 ไซโคลเมตريكชาร์ท	7
2.4 กระบวนการทำให้อากาศเย็นแบบระเหย	11
2.5 อุปกรณ์ (ผิวเปียก) ที่ใช้ในกระบวนการทำความเย็นแบบระเหย	12
2.6 การทำความเย็นโดยตรง	13
3.1 แผนผังการจัดวางอุปกรณ์การทดลอง	16
3.2 ขนาด Cooling Pad	17
3.3 พัดลมยีห้อ VENZ SUPERPOWER : Model If-16	18
3.4 เครื่องสูบน้ำ ยี่ห้อ HETO : Model QD-3800	18
3.5 เทอร์โมสตัท รุ่น TA(S)-120-SB	19
3.6 มิเตอร์วัดไฟฟ้า	19
3.7 Air Velocity Meter	20
3.8 Temperature measuring instrument	20
3.9 ตำแหน่งที่วัดค่าอุณหภูมิและความชื้นของอากาศที่ชุดทดลอง Cooling Pad	21
3.10 ตำแหน่งที่วัดค่าอุณหภูมิและความชื้นของอากาศที่ Evaporator ภายในห้อง	22
3.11 การติดเครื่องทำความเย็นแบบระเหยนำที่คอนเดนเซอร์	22
4.1 การเปรียบเทียบค่า EER จากค่าไฟฟ้ารวมที่อุณหภูมิ 30 °C	30
4.2 การเปรียบเทียบค่า EER จากค่าไฟฟ้ารวมที่อุณหภูมิ 35 °C	31
4.3 การเปรียบเทียบค่า EER จากค่าไฟฟ้ารวมที่อุณหภูมิ 40 °C	32
4.4 การเปรียบเทียบค่า EER โดยไม่คิดกำลังไฟฟ้าจากพัดลมที่อุณหภูมิ 30 °C	33
4.5 การเปรียบเทียบค่า EER โดยไม่คิดกำลังไฟฟ้าจากพัดลมที่อุณหภูมิ 35 °C	34
4.6 การเปรียบเทียบค่า EER โดยไม่คิดกำลังไฟฟ้าจากพัดลมที่อุณหภูมิ 40 °C	35
4.7 การเปรียบเทียบค่า EER โดยไม่คิดกำลังไฟฟ้าจากพัดลมที่อุณหภูมิ และความเร็วต่างๆ	36
4.8 อัตราการระเหยนำที่ความเร็วลมต่างๆ ก่อนเข้า Cooling Pad	37

รายการสัญลักษณ์และคำอธิบาย

สัญลักษณ์	หน่วย	คำอธิบาย
-	lba	ปอนด์ต่อตารางฟุต
-	lbw	ปอนด์ต่อตารางเซนติเมตร
A	m^2	พื้นที่หน้าตัดที่อากาศไหพล่าน
COP	-	ค่าสัมประสิทธิ์สมรรถนะ
EER	-	ค่าอัตราส่วนประสิทธิภาพพลังงาน
h_1	Btu/lba	ค่าอึนทัลปีของอากาศก่อนผ่าน Cooling Pad
h_2	Btu/lba	ค่าอึนทัลปีของอากาศก่อนผ่าน Condenser
h_3	Btu/lba	ค่าอึนทัลปีของอากาศหลังผ่าน Condenser
h_4	Btu/lba	ค่าอึนทัลปีของอากาศก่อนผ่าน Evaporator
h_5	Btu/lba	ค่าอึนทัลปีของอากาศหลังผ่าน Evaporator
m_a	m^3/s	อัตราการไหลของอากาศ
m_w	lbw/hr	อัตราการระเหยของน้ำหลังผ่านคูลลิ่งแพด
Q_1	m^3/s	อัตราการไหลของของไหลด้านเข้า
Q_2	m^3/s	อัตราการไหลของของไหลด้านออก
Q_H	Btu/hr	การการถ่ายเทความร้อนที่ทางด้านอุณหภูมิสูง
Q_L	Btu/hr	การการถ่ายเทความร้อนที่ทางด้านอุณหภูมิต่ำ
RH_1	%	ค่าความชื้นของอากาศก่อนผ่าน Cooling Pad
RH_2	%	ค่าความชื้นของอากาศก่อนผ่าน Condenser
RH_3	%	ค่าความชื้นของอากาศหลังผ่าน Condenser
RH_4	%	ค่าความชื้นของอากาศก่อนผ่าน Evaporator
RH_5	%	ค่าความชื้นของอากาศหลังผ่าน Evaporator
T_1	°C	ค่าอุณหภูมิของอากาศก่อนผ่าน Cooling Pad
T_2	°C	ค่าอุณหภูมิของอากาศก่อนผ่าน Condenser
T_3	°C	ค่าอุณหภูมิของอากาศหลังผ่าน Condenser
T_4	°C	ค่าอุณหภูมิของอากาศก่อนผ่าน Evaporator
T_5	°C	ค่าอุณหภูมิของอากาศหลังผ่าน Evaporator

V_1	m/s	ความเร็วลมก่อนผ่านคูลลิ่งแพด
V_2	m/s	ความเร็วลมหลังผ่านคูลลิ่งแพด
V_3	m/s	ความเร็วลมหลังผ่านคอนเดนเซอร์
V_4	m/s	ความเร็วลมกลับของ Evaporator
V_5	m/s	ความเร็วลมจ่ายของ Evaporator
W	Watt	พลังงานไฟฟ้าที่ใส่เข้าระบบ
W_1	lbw/lba	อัตราส่วนความชื้นของอากาศก่อนผ่าน Cooling Pad
W_2	lbw/lba	อัตราส่วนความชื้นของอากาศหลังผ่าน Cooling Pad
ρ_{atm}	lb/ft ³	ความหนาแน่นของอากาศที่ 1 atm

บทที่ 1

บทนำ

1.1 บทนำ

เครื่องปรับอากาศแบบอัตโนมัติมีการใช้อุปกรณ์พิเศษในการจัดการความร้อนด้วยอากาศเป็นที่นิยมเนื่องจากความสะดวกในการติดตั้งและค่าใช้จ่ายต่ำ โดยในการออกแบบเครื่องปรับอากาศได้กำหนดค่าอุณหภูมิออกแบบภายในอยู่ที่ 25°C แต่ในทางปฏิบัติอากาศภายในบ้านสูงขึ้นทุกปี เช่น ปี พ.ศ. 2541 ประเทศไทยมีอุณหภูมิสูงสุดคือ 43.6°C (สถิติจากการสำรวจอุตุนิยมวิทยา) ประสิทธิภาพของเครื่องปรับอากาศจะแปรผันกับอุณหภูมิภายนอก การลดอุณหภูมิของอากาศภายในครอบคลุมเฉพาะช่วงไห้ก้อนเดนเซอร์มีการถ่ายเทความร้อนได้ดีขึ้น และเนื่องจากการทำความเย็นแบบระบบเย็นน้ำเป็นระบบที่ใช้พลังงานต่ำ จึงนำมาสู่การใช้ระบบทำความเย็นแบบระบบเย็นน้ำทำให้อากาศโดยรอบที่ใช้ระบบความร้อนที่ก้อนเดนเซอร์มีอุณหภูมิต่ำลง

1.2 วัตถุประสงค์

เพื่อทดสอบสมรรถนะเครื่องปรับอากาศแบบอัตโนมัติด้วยการทำความเย็นให้กับอากาศแบบระบบเย็นน้ำที่ก้อนเดนเซอร์แบบระบบด้วยความร้อนด้วยอากาศ

1.3 ขอบเขตของการทำโครงการ

1.3.1 สร้างห้องทดลองซึ่งมีการปรับอากาศด้วยเครื่องปรับอากาศแบบอัตโนมัติและติดตั้งชุดอุปกรณ์ทำความเย็นให้กับอากาศแบบระบบเย็นน้ำที่ก้อนเดนเซอร์

1.3.2 ทดสอบหาสมรรถนะเครื่องปรับอากาศเพื่อเปรียบเทียบระหว่างกรณีปกติทั่วไปกับกรณีที่มีการติดตั้งชุดอุปกรณ์ทำความเย็นให้กับอากาศแบบระบบเย็นน้ำที่ก้อนเดนเซอร์

1.4 แผนการดำเนินงาน

ตารางที่ 1.1 แผนการดำเนินงาน

No.	รายการ	มิ.ย.	ก.ค.	ส.ค.	ก.ย.	ต.ค.	พ.ย.	ธ.ค.	ม.ค.	ก.พ.
1	วางแผนการทดลอง การเก็บข้อมูล และการวิเคราะห์ผล ออกแบบและคำนวณขนาดของอุปกรณ์การทดลอง					←	→			
2	ซื้อวัสดุ อุปกรณ์ สร้างห้องทดลอง และติดตั้งเครื่องปรับอากาศ						←	→		
3	ทำการทดลองกรณีก่อนการติดตั้งชุดอุปกรณ์ทำความสะอาดให้กับอาคารแบบระเหยน้ำ							←	→	
4	ติดตั้งชุดอุปกรณ์ทำความสะอาดแบบระเหยน้ำที่คอกนเดนเซอร์และการทดลอง								←	→
5	วิเคราะห์ และสรุปผลงานวิจัย								←	→
6	จัดทำรายงานฉบับสมบูรณ์	←							↓	↙

1.5 ประโยชน์ที่คาดว่าจะได้รับ

สามารถลดการใช้พลังงานไฟฟ้าในการทำความสะอาดของเครื่องปรับอากาศแบบอัดไอ ด้วยการเพิ่มสมรรถนะของเครื่องปรับอากาศโดยติดตั้งชุดทำความสะอาดให้กับอาคารแบบระเหยน้ำที่คอกนเดนเซอร์แบบระบบความร้อนด้วยอากาศ

บทที่ 2

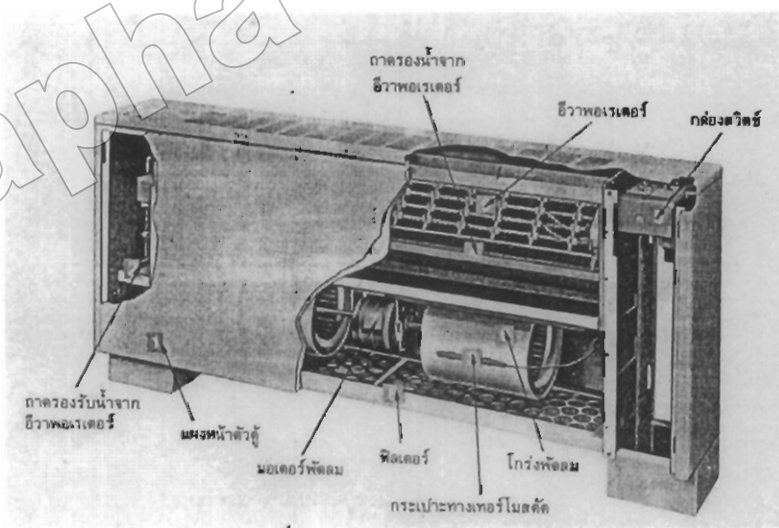
ทฤษฎีเกี่ยวข้อง

การปรับอากาศในประเทศไทยนั้นส่วนมากเป็นการปรับอากาศแบบทำให้อากาศเย็น โดยมีการดึงทิ้งความร้อนและความชื้นออกกระบวนการทำการทำให้อากาศเย็นและแห้ง ซึ่งจะทำให้ทิ้งความร้อนสัมผัสและความร้อนแห่งเปลี่ยน

2.1 เครื่องปรับอากาศแบบอัดไอซินดแบบแยกส่วน

2.1.1 ชุดคอมเพรสเซอร์ [สมศักดิ์, 2545]

เป็นส่วนที่คิดตั้งอยู่ภายในห้องปรับอากาศ ซึ่งสามารถแบ่งตามลักษณะการติดตั้งได้เป็น 3 แบบ คือ แบบติดผนัง แบบตั้งพื้น และแบบแขวนเพดาน

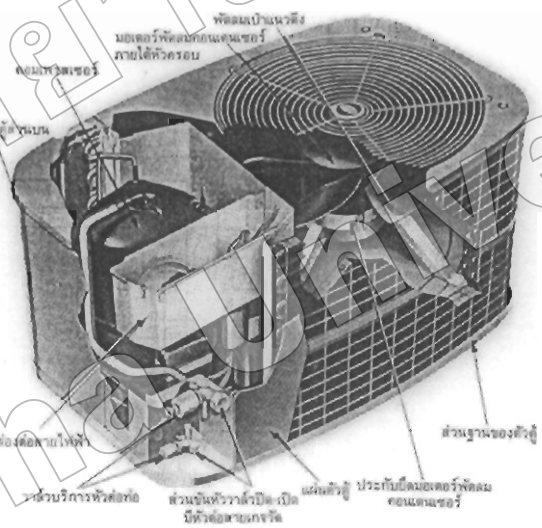


รูปที่ 2.1 โครงสร้างภายในของชุดคอมเพรสเซอร์

อุปกรณ์หลักของชุดคอมบีนีประกอบด้วย

- 1) คอมบีนีหรืออิวพอเรเตอร์คอมบีนี
- 2) เทอร์โมสแตติกเอกสาร์แพนชั่นวาล์ว
- 3) ท่อลิคิวิด
- 4) ท่อซักชั่น
- 5) นอเตอร์พัดลม
- 6) ใบพัด
- 7) ถ้าครองน้ำหายด
- 8) ฟลัตเตอร์กรองอากาศ

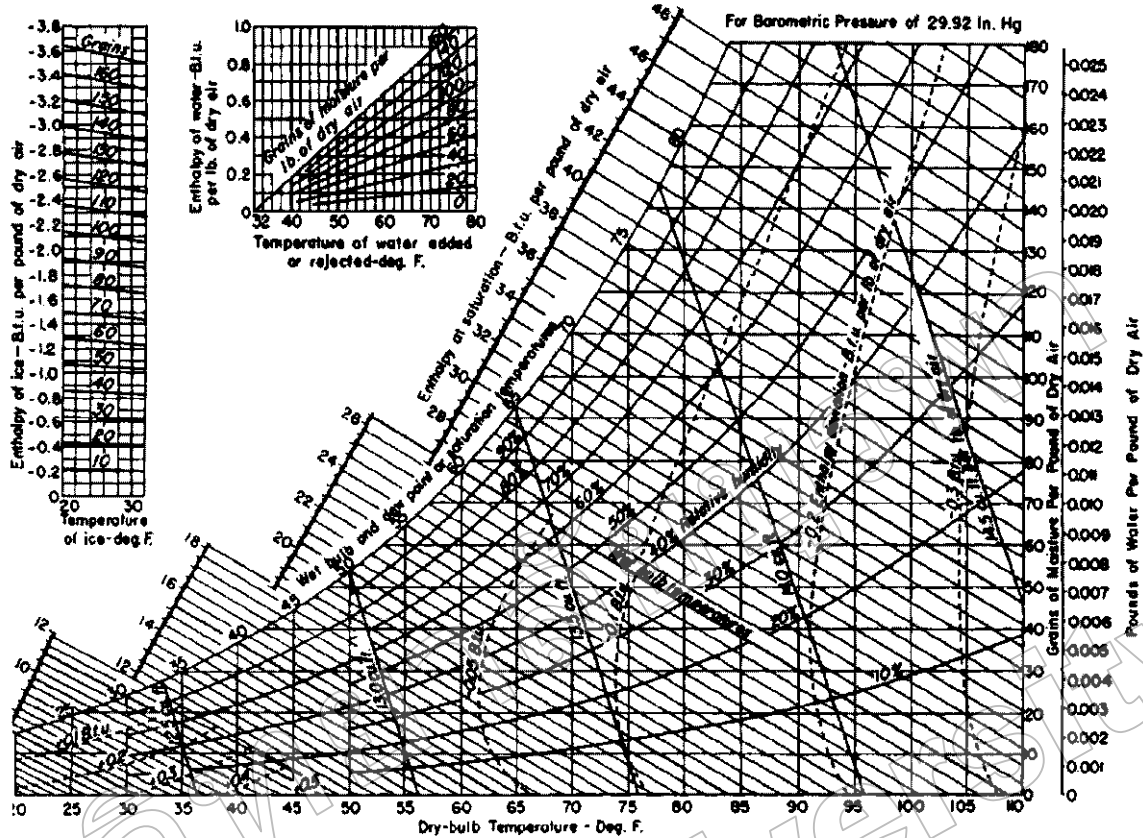
2.1.2 ชุดคอมเดนซิ่งยูนิต [สมศักดิ์, 2545]



รูปที่ 2.2 ชุดคอมเดนซิ่งยูนิต

อุปกรณ์หลักของชุดคอมเดนซิ่งยูนิตประกอบด้วย

- 1) นอเตอร์คอมเพรสเซอร์ นอเตอร์คอมเพรสเซอร์ของเครื่องปรับอากาศแบบแยกส่วนนี้จะเป็นแบบเซอร์เมติก ซึ่งมีส่วนประกอบของนอเตอร์และคอมเพรสเซอร์อยู่ในตัวเรือนเดียวกัน เชื่อมปีกมิคชิด ส่วนของคอมเพรสเซอร์จะมีอยู่ 2 แบบ คือ แบบลูกสูบและแบบโรตารี
- 2) คอมเดนเซอร์ เป็นชนิดท่อทองแดงและมีคริบช่วยเพิ่มพื้นที่ในการระบายความร้อนออกจากน้ำยา เพื่อให้น้ำยาในสถานะแก๊สกลับตัวเป็นน้ำยาเหลว



รูปที่ 2.3 ไซโครเมติกชาร์ท

ปกติในงานปรับอากาศแทนที่จะวัดอัตราไหลของอากาศในท่อ m_a แต่กลับนิยมวัดในท่อ cfm กันมากกว่า เทอมทั้งสองมีความสัมพันธ์กันดังนี้

$$m_a = \frac{60 cfm}{v} \quad (2.1)$$

เนื่องจากอากาศที่เกี่ยวข้องกับงานปรับอากาศมีคุณสมบัติใกล้เคียงกับอากาศมาตรฐาน ดังนั้นถ้าแทนค่า v ด้วยปริมาตรจำเพาะของอากาศมาตรฐานจะได้ว่า

$$m_a = 4.5 cfm \quad (2.2)$$

เราสามารถนำค่า m_a มาใช้แทนอัตราการไหลของอากาศที่สภาวะอากาศมาตรฐานได้

2.4 กฎข้อหนึ่งของเทอร์โมไคนา มิกส์สำหรับระบบเปิดชนิดมวลและพลังงานภายในระบบเปิดในเปลี่ยนแปลง [ชนกัญช์ และบรรจง, 2524]

(FIRST LAW OF THERMODYNAMICS FOR STEADY STATE, STEADY FLOW PROCESS)

$$Q = \Delta m_e(h + V^2/2 + Zg)_e - \Delta m_i(h + V^2/2 + Zg)_i + W$$

หรือ $Q = m(h_e - h_i) + m(V_e^2/2 - V_i^2/2) + m(Z_e - Z_i)g + W$

จาก $Q = m(h_e - h_i) + m(V_e^2/2 - V_i^2/2) + m(Z_e - Z_i)g + W$

สามารถนำมาใช้เป็นสมการหาความร้อนที่ถ่ายเทให้กับอุปกรณ์โดยให้

$$m(V_e^2/2 - V_i^2/2) + m(Z_e - Z_i)g + W = 0$$

ไม่คิดพลังงานทดแทน พลังงานศักย์และงานที่ให้จะได้ว่า

$$Q_L = m(h_e - h_i) \quad \text{Btu/hr} \quad (2.3)$$

2.5 ค่าสัมประสิทธิ์สมรรถนะ (Coefficient of Performance) [สุรพล, 2538]

ค่าสมรรถนะใช้ในการหาประสิทธิผลของเครื่องปรับอากาศ หาได้จากอัตราส่วนระหว่างพลังงานที่เครื่องปรับอากาศสามารถนำออกจากการห้องปรับอากาศ Q_L ต่อพลังงานที่ใส่เข้าไป W

$$COP = \frac{Q_L}{W} \quad (2.4)$$

ค่าของ Q_L และ W จะต้องมีหน่วยเดียวกัน ดังนั้นค่า COP จึงไม่มีหน่วย โดยค่า COP อาจมีค่ามากกว่าหนึ่งก็ได้

2.6 อัตราส่วนประสิทธิภาพพลังงาน (EER) [สูตรพล, 2538]

EER มีความหมายใกล้เคียงกันกับ COP แต่ต่างกันเพียงหน่วยพลังงาน กล่าวคือ ความสามารถในการทำความเย็น มีหน่วยเป็น Btu/h. ค่าพลังงานไฟฟ้าที่ใช้ในคอมเพรสเซอร์และพัดลมจากการวัดจริง มีหน่วยเป็น Watt, W นั่นคือ อัตราส่วนประสิทธิภาพพลังงานจะไม่มีหน่วย

$$EER = \frac{Q_L}{W} \quad (2.5)$$

ซึ่งปัจจุบันประเทศไทยได้มีการกำหนดประสิทธิภาพของเครื่องปรับอากาศ โดยใช้เกณฑ์ของค่า EER ของเครื่องปรับอากาศในการแบ่งแยกออกเป็น 5 ระดับ (เบอร์)

ตารางที่ 2 - 1 แสดงการกำหนดระดับประสิทธิภาพ และค่าเฉลี่ยของการใช้พลังงาน (ข้อมูลจากการไฟฟ้าฝ่ายผลิต)

ระดับ (เบอร์)	เกณฑ์	ระดับประสิทธิภาพของ
1	ต่ำ	EER < 7.6
2	พอใช้	7.6 < EER < 8.6
3	ปานกลาง	8.6 < EER < 9.6
4	มาก	9.6 < EER < 10.6
5	ค่อนข้างมาก	EER > 10.6

การกำหนดประสิทธิภาพทั้ง 5 ระดับนี้ ตรวจสอบและรับรองคุณภาพโดยสำนักงานมาตรฐานผลิตภัณฑ์อุตสาหกรรม (สมอ.)

จากสมการที่ (2.3)

$$Q_L = m_a \Delta h \quad (2.6)$$

โดยที่ Q_L คือปริมาณความร้อนที่ถ่ายเทให้กับอากาศหรือความสามารถในการทำความเย็น มีหน่วยเป็น (Btu/hr)

m_a คืออัตราการไหลของอากาศที่สภาวะมาตรฐานการปรับอากาศ cfm

Δh คือผลต่างของอัตราการเปลี่ยนผ่านของอากาศก่อนเข้าและออกจากอยู่ดีเย็น Btu

เนื่องจากอาคารที่เกี่ยวข้องกับงานปรับอากาศมีคุณสมบัติใกล้เคียงกับอาคารมาตรฐาน ดังนั้นถ้าแทนค่า v ด้วยปริมาตรจำเพาะของอาคารมาตรฐานจะได้ค่า 13.33 จะได้สมการที่ (2.2) สามารถหา ปริมาณความร้อนที่ถ่ายเทให้กับอีวพอเรเตอร์ในการทำความเย็นมีหน่วยเป็น (Btu/hr) จากสมการที่ (2.6)

$$Q_L = m_a \Delta h$$

จากสมการที่ (2.2) แทนค่า $m_a = 4.5 \text{ cfm}$
จะได้

$$Q_L = 4.5 \text{ cfm}(h_2 - h_1) \quad (2.7)$$

สามารถหา ประสิทธิภาพของเครื่องปรับอากาศ จากสมการที่ (2.5)

$$\text{EER} = \frac{Q_L}{W} \quad \text{W คือกำลังไฟฟ้ามีหน่วยเป็น Watt}$$

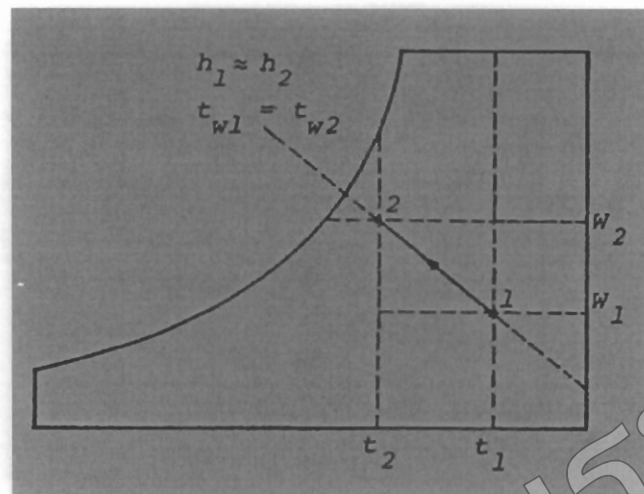
จะได้สมการ

$$\text{EER} = \frac{4.5 \text{ cfm}(h_2 - h_1)}{W} \quad (2.8)$$

โดย h_2 คือ เอ็นทัลปีจากไซโครเมตريكชาร์ทที่อุณหภูมิกับความชื้นอากาศก่อนเข้าอีวพอเรเตอร์
 h_1 คือ เอ็นทัลปีจากไไซโครเมตريكชาร์ทที่อุณหภูมิกับความชื้นอากาศหลังเข้าอีวพอเรเตอร์

2.7 หลักการของระบบทำความเย็นแบบระเหย [สมศักดิ์, 2545]

การทำความเย็นแบบระเหยจะใช้การระเหยของน้ำเพื่อลดอุณหภูมิของอากาศและใช้น้ำหมุนเวียนในกระบวนการอย่างต่อเนื่อง สำหรับในสภาวะภูมิอากาศแบบร้อนแห้ง ซึ่งเป็นสภาวะภูมิอากาศที่มีความแห้ง燥มาก การทำความเย็นแบบระเหยที่ได้ผลดี ในการทำความเย็นสามารถทำได้โดยการฉีดละอองน้ำเข้าผสมกับอากาศที่ร้อนแห้ง เพื่อใช้ความร้อนสัมผัสของอากาศทำให้น้ำระเหย ผลที่ได้จะทำให้อากาศมีอุณหภูมิต่ำลง และความชื้นสูงขึ้นแสดงดังรูปที่ 2.4



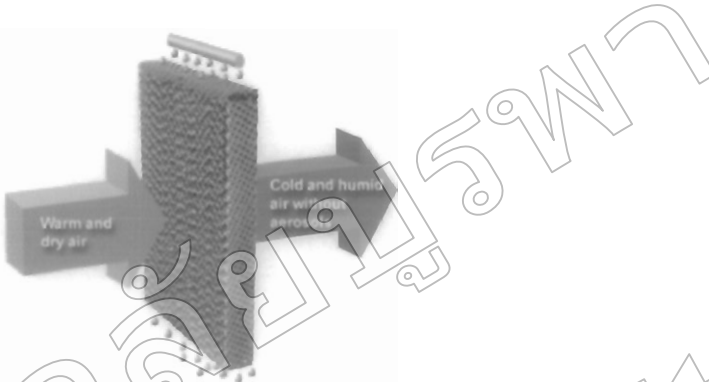
รูปที่ 2.4 กระบวนการทำให้อาคารเย็นแบบระเหย [นนทริ พิรุณเกษตร, 2541]

กระบวนการทำความเย็นโดยจิ๊กชิ๊กนี้จะเป็นการอาศัยสมมติฐานคือ ในระหว่างกระบวนการความดันคงที่และลดความร้อนโดยการเพิ่มความชื้น กระบวนการนี้ไม่มีผลลัพธ์ความร้อนจากภายนอกเข้ามาเกี่ยวข้องและใช้น้ำหมุนเวียนในระหว่างกระบวนการอุ่นต่อเนื่องการระเหยของน้ำจะใช้ความร้อนแห้งในการระเหย แต่เนื่องจากไม่มีแหล่งความร้อนจากภายนอกดังนั้นน้ำจะดูดความร้อนออกจากอากาศท้าให้อากาศมีความร้อนสัมผัสลดลง (อุณหภูมิระปาดแห้งลดลง) จะเห็นได้ว่าอากาศมีความร้อนสัมผัสลดลงแต่มีความร้อนแห้งเนื่องจากความชื้นของไอน้ำที่เพิ่มขึ้นจากการระเหยของน้ำในจำนวนที่มากกันนั้นคือกระบวนการที่เกิดขึ้นไม่มีการเพิ่มหรือลดปริมาณความร้อนภายในอากาศแต่เป็นกระบวนการที่ช่วยลดอุณหภูมิให้กับอากาศ ดังนั้นกระบวนการนี้เป็นกระบวนการอ่อนหัดปักที่ กระบวนการดึงกล่าวว่าได้ถูกนำมาประยุกต์ใช้เป็นหลักการในการทำความเย็นแบบระเหย เนื่องจากกระบวนการทำให้อาคารเย็นโดยการระเหยของน้ำเป็นกระบวนการเดียวกันกับกระบวนการที่เกิดขึ้นที่กระปาดของเทอร์โนมิเตอร์กระปาดเปียก ดังนั้นอาจกล่าวได้ว่ากระบวนการทำความเย็นแบบระเหยเป็นกระบวนการอุณหภูมิกระปาดเปียกที่ด้วยและอากาศที่ออกจากระบวนการเป็นอากาศที่อิ่มตัว ในทางปฏิบัติอากาศที่ออกจากระบวนการจะไม่ใช้อากาศอิ่มตัวเพราะการทำให้อากาศอิ่มตัวจะต้องใช้พื้นที่สำหรับการระเหยน้ำมาก โดยกระบวนการทำความเย็นแบบระเหยสามารถแบ่งได้เป็น 2 วิธีคือ

- วิธีพ่นฟ้อซ

- วิธีผิวน้ำ

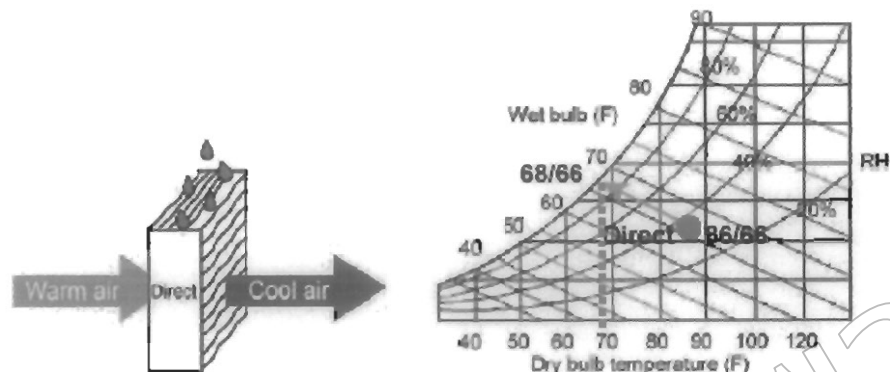
โดยความแตกต่างของทั้งสองวิธีคือวิธีที่พ่นฟอยจะทำให้น้ำสูกซึ่ดให้เป็นละอองขนาดเล็ก เพื่อให้เกิดการระเหยได้ดี ส่วนวิธีผิวน้ำจะทำให้น้ำหลอมล้างด้วยลมหรือวัสดุที่เป็นช่องเพื่อเพิ่ม พื้นที่การสัมผัสน้ำระหง่าน้ำกับอากาศ ทำให้น้ำสามารถระเหยได้มากขึ้น วัสดุที่ใช้ทำผิวน้ำจะต้องเป็นวัสดุที่มีความสามารถในการดูดซับน้ำได้ดี โดยวิธีผิวน้ำจะช่วยให้อากาศผ่านเข้าไปตามช่องเพื่อระเหยน้ำ ดังรูปที่ 2.5



รูปที่ 2.5 อุปกรณ์ (ฟิล์มเปียก) ที่ใช้ในกระบวนการทำความเย็นแบบระเหย [Wescof, 2004]

เมื่อจากวิธีผิวน้ำเปียกมีประสิทธิภาพดีกว่าวิธีที่พ่นฟอยด้วยน้ำ โครงการนี้จึงเลือกที่จะศึกษาถึง การทำความเย็นแบบระเหยโดยวิธีผิวน้ำเปียก ต่อไปจะขออธิบายถึงรายละเอียดของวิธีการทำความเย็นแบบระเหยโดยวิธีผิวน้ำเปียก หลักการทำความเย็นแบบระเหยโดยวิธีผิวน้ำเปียกแบ่งเป็น 3 ลักษณะ คือ การทำความเย็นโดยตรง (Direct evaporative cooling) การทำความเย็นโดยอ้อม (Indirect evaporative cooling) และการทำความเย็นแบบผสม (Indirect / direct evaporative cooling) ซึ่งมีรายละเอียดของแต่ละลักษณะดังต่อไปนี้

กระบวนการเย็นโดยตรง สามารถลดอุณหภูมิได้โดยมีค่าลดลงน้ำ汽ที่ผิวน้ำเดือดเป็นอากาศ ภายในออกผ่านผิวน้ำเปียก ซึ่งตัวกลางเป็นแผ่นที่มีลักษณะที่เป็นรูพรุนหรือเป็นโพรงที่เปียกชุ่มไปด้วยน้ำ น้ำจะดึงความร้อนแห้งจากอากาศ ไปใช้ในการระเหย ทำให้อากาศมีอุณหภูมิเย็นลงและมีความชื้นเพิ่มขึ้น แสดงดังรูปที่ 2.6 โดยในกระบวนการนี้อุณหภูมิจะเปลี่ยนแปลงของอากาศจะลดลง ในขณะที่อุณหภูมิจะเปลี่ยนแปลงมีค่าคงที่ การลดอุณหภูมิเป็นกระบวนการเรื่องของการใช้ระบบการปรับอากาศแบบระเหยน้ำแบบโดยตรง ในพื้นที่ที่มีความชื้นน้อยจะช่วยประหยัดพลังงาน 6 - 80% เมื่อเทียบกับระบบปรับอากาศแบบอัดไอ



รูปที่ 2.6 การทำความเย็นโดยตรง [Wescor, 2004]

2.8 ทฤษฎีการคำนวณอัตราการระเหยของน้ำผ่านดูลิ่งแมค [ตามศักดิ์, 2545]

สมมติฐาน

- ในระหว่างกระบวนการทำความดันคงที่

- มีการเพิ่มความชื้นเข้า

- คำนวนที่ความเร็วหลังผ่านดูลิ่งแมค

โดยกระบวนการเพิ่มความชื้นในอากาศเพื่อย่อซั่งเดียวจะทำให้อุณหภูมิกระปาเป็นไปเพิ่มขึ้นเท่าเดียวกับความชื้นสัมพัทธ์ของอากาศค่าอุณหภูมิกระปาแห้งลดลงและค่าเออนทัลปีของอากาศก่อนการปรับอากาศและหลังจะเท่ากันเพราะไม่มีการเปลี่ยนแปลงค่าความร้อนสัมผัส

balance มวล

อากาศ

$$m_{a1} = m_{a2} \quad \text{lb/hr}$$

ความชื้น

$$m_{a2} W_2 = m_w + m_{a1} W_1 \quad \text{lbw/hr}$$

จะได้ว่า

$$m_w = m_{a2} W_2 - m_{a1} W_1 \quad \text{lbw/hr} \quad (2.9)$$

จากสมการ (2.9)

$$m_{a1} = m_{a2} \quad \text{lb/hr}$$

$$m_w = m_{a1} (W_2 - W_1) \quad \text{lbw/hr} \quad (2.10)$$

จากสมการ (2.2)

$$m_a = 4.5 \text{ cfm} \quad \text{lb/hr}$$

$$m_w = 4.5 \text{ cfm} (W_2 - W_1) \quad \text{lbw/hr} \quad (2.11)$$

สามารถหาอัตราการระบายของน้ำสภาวะอากาศหลังผ่านที่กู่ลิ่งเพดได้

2.9 สมการพื้นฐานสำหรับปริมาตรความคุณ [มนตรี, 2542]

เนื่องจากพัดลมที่อิวาร์เรเตอร์ให้ความเร็วลมต่ำและเป็นพัดลมที่ให้อัตราการไหลน้อยจึงสมมุติฐานว่าของไหลไม่อัดตัวและค่าความหนาแน่นไม่เปลี่ยนแปลง
หลักความถาวรของมวล

$$\frac{dM}{dt} \Big|_{\text{คง}} = \frac{\partial}{\partial t} \int \rho dV + \int \rho \vec{v} d\vec{A} = 0 \quad (2.12)$$

ในสมการที่ (2.12)

$\frac{\partial}{\partial t} \int \rho dV$ คืออัตราการเปลี่ยนแปลงของมวลภายในปริมาตรความคุณ

$\int \rho \vec{v} d\vec{A}$ คือ อัตราไหลออกโดยสูทชิข้ามผิวน้ำคุณ

สมการความต่อเนื่อง (Continuity equation) จากที่สมมุติฐานว่าของไหลไม่อัดตัวค่า ρ จะคงที่

$$\frac{\partial}{\partial t} \int \rho dV + \int \rho \vec{v} d\vec{A} = 0$$

$$\frac{\partial}{\partial t} [\rho v] + \int \rho \vec{v} d\vec{A} = 0$$

ในที่นี่ v เป็นค่าคงที่ ดังนั้น $\frac{\partial}{\partial t} [\rho v] = 0$ จะได้

$$\int \rho \vec{v} d\vec{A} = 0$$

จากทฤษฎีความต่อเนื่องจะได้ว่า

[อัตราการไหลโดยปริมาตร ออกจากปริมาตรความคุณ (m^3/s)] = [อัตราการไหลโดยปริมาตร เข้าจากปริมาตรความคุณ (m^3/s)]

$$Q_1 = Q_2 = V \times A \quad (2.13)$$

โดย

Q_1 คือ อัตราการ ไหลด้านเข้า หน่วย m^3/s

Q_2 คือ อัตราการ ไหลด้านออก หน่วย m^3/s

V คือ ความเร็ว หน่วย m/s

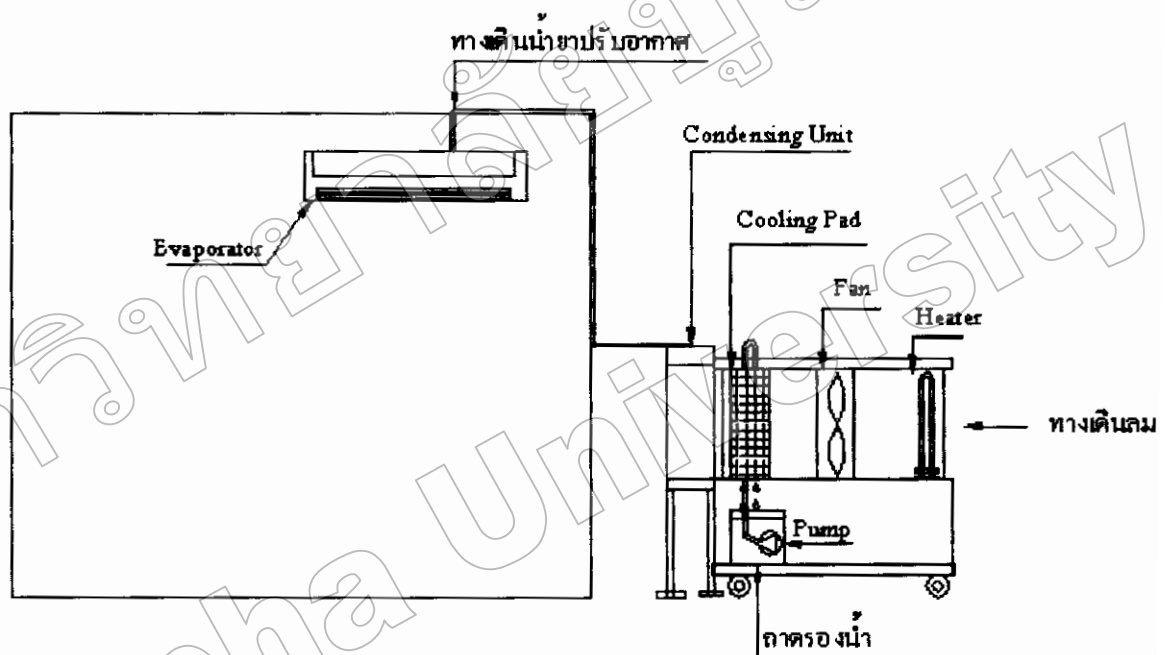
A คือ พื้นที่หน้าตัดที่ ไหลผ่าน หน่วย m^2

จากสมการข้างต้นจะได้ว่า อัตราการ ไหลของอากาศก่อนเข้าอีวพอร์เตอร์ จะเท่ากับ อัตรา การ ไหลของอากาศออกจากอีวพอร์เตอร์ โดยนำอัตราการ ไหลของอากาศที่ออกจากอีวพอร์เตอร์ มาคำนวณได้

บทที่ 3

อุปกรณ์และวิธีการทดลอง

3.1 อุปกรณ์ที่ใช้ในการทดลอง



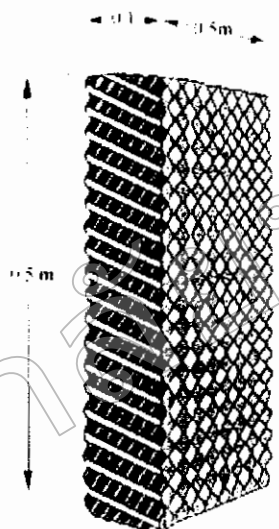
รูปที่ 3.1 แผนผังการจัดวางอุปกรณ์การทดลอง

3.1.1 ห้องทดลองขนาด $2.4 \text{ m} \times 2.4 \text{ m} \times 2.4 \text{ m}$ ทำด้วยไม้อัดหนา 0.1 เม็ดจากไม้อัดแต่ละแผ่นมีขนาด $1.2 \text{ m} \times 2.4 \text{ m}$ จึงนำมาใช้ทำห้อง ซึ่งจะง่ายในการประกอบ

3.1.2 เครื่องปรับอากาศแบบอัดไอน้ำแบบแยกส่วน เนื่องจากเป็นห้องที่มีขนาดเล็กและตั้งอยู่ในบริเวณที่ไม่ถูกแสงแดดโดยตรง จึงเลือกใช้เครื่องปรับอากาศยี่ห้อ แอลจิ รุ่น HS-R0960CH ขนาด 9,000 Btu/hr เพราะเป็นรุ่นที่ขนาดทำความเย็นเหมาะสมกับขนาดของห้อง หาซื้อได้ง่าย ราคาถูกกว่ายี่ห้ออื่น และการดูดซับตั้งง่าย

3.1.3 ชุดอุปกรณ์ทำความสะอาด เช่น ไห้กับอากาศแบบระเหยน้ำที่คอนเดนเซอร์ ซึ่งประกอบด้วย

3.1.3.1 Cooling Pad เนื่องจากพื้นที่ลมเข้าของคอนเดนเซอร์มีขนาดประมาณ $0.5 \text{ m} \times 0.5 \text{ m}$ จึงใช้ Cooling Pad รุ่น 0790 ขนาด $0.5 \text{ m} \times 0.5 \text{ m} \times 0.1 \text{ m}$ ของบริษัท สิว ทีค-เอเชีย จำกัด ทำมาจากเยื่อกระดาษเซลลูโลสซึ่งได้รับการออกแบบให้มีความสามารถในการทำระเหยและความทนทานต่อหน้าไฟด้วย



รูปที่ 3.2 ขนาด Cooling Pad

3.1.3.2 พัดลม เนื่องจากอุปกรณ์การทำความเย็นแบบระเหยที่นำมาติดตั้งเป็นอุปกรณ์ต้นแบบขนาดเล็ก ท่อลมมีความยาวไม่มากนักและความดันสูญเสียเมื่ออากาศไหลผ่านคูล ลิ่ง เพคเมค่าไม่มากนัก ดังนั้นจึงเลือกใช้พัดลมที่มีการไหลของอากาศตามแนวแกน (Axial Flow Fan) เพราะค่าความปั่นปานของกระแสลมที่พัดลมสร้างมีค่าน้อยกว่าพัดลมที่มีการไหลของอากาศตามแนววัลคาโน (Centrifugal Fan) มีขนาดพื้นที่หน้าตัด (A) เท่ากับ 0.25 m^2 และในการเลือกขนาดพัดลมจะพิจารณาจากอัตราการไหลเชิงปริมาตรที่พัดลมสร้างได้โดยจะใช้ความเร็วลมก่อนเข้าคูลลิ่งเพคอยู่ในช่วง $1-5 \text{ m/s}$ จะได้อัตราเร็วสูงสุดของพัดลม (V_{\max}) เท่ากับ 5 m/s สามารถหาอัตราการไหลเชิงปริมาตรจากสมการ (2.13)

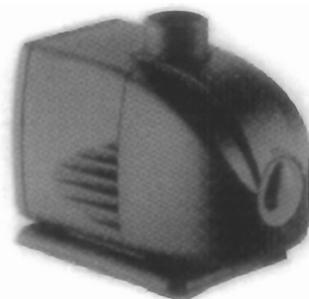
$$\begin{aligned} Q &= V_{\max} \times A \\ &= 5 \times 0.25 \text{ m}^3/\text{s} \\ &= 1.25 \times 37.037 \times 60 \text{ cfm} \\ &= 2777.78 \text{ cfm} \end{aligned}$$

ดังนั้นเลือกใช้พัดลมแบบ Axial Flow Fan ยี่ห้อ VENZ SUPERPOWER : Model IF-16 ซึ่งมีอัตราการไหลเชิงปริมาตร 4,000 cfm ซึ่งมีการทำชุดบริษัทการไฟฟ้าเพื่อใช้ปรับความเร็วของอากาศตามที่ต้องการได้



รูปที่ 3.3 พัดลมยี่ห้อ VENZ SUPERPOWER : Model IF-16

3.1.3.3 เครื่องสูบน้ำแบบ Centrifugal Pump ยี่ห้อ HETO: Model QD-3800 แสดงดังรูปที่ 3.5 ซึ่งมีหัวน้ำสูงสุด 2 m และมีอัตราการไหล 25 l/min โดยระบบหัวน้ำจะมีอุปกรณ์สำหรับปรับอัตราการไหลของน้ำให้ได้ค่าตามที่ต้องการ

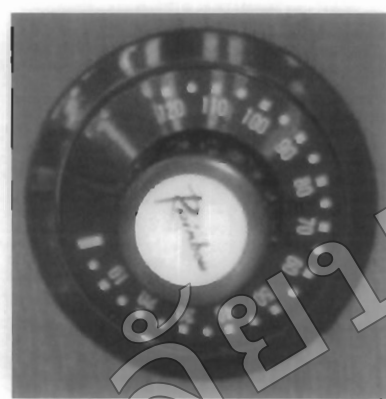


รูปที่ 3.4 เครื่องสูบน้ำยี่ห้อ HETO : Model QD-3800

3.1.4 ฮีตเตอร์ (Heater) ใช้แบบแท่งขดเป็นรูปตัว M จำนวน 2 แท่ง ขนาดแท่งละ 2,000 W การต่อวงจรจะต้องนุ่มนิ่มน้ำกัน thor ไม้สต็อกเพื่อความคุณการทำงานของฮีตเตอร์ (Heater)

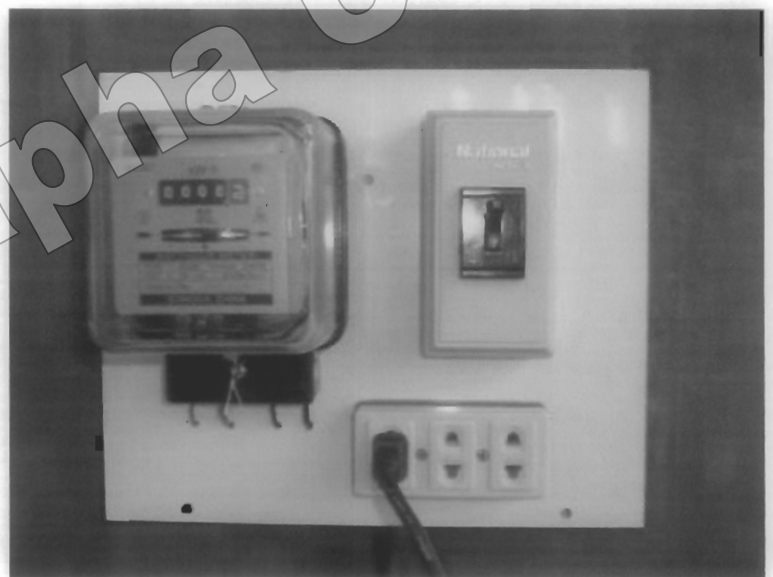
3.1.5 นาฬิกาจับเวลา

3.1.6 เทอร์โมสตั๊ก การทดลองจะใช้ควบคุมอุณหภูมิที่ $30-40^{\circ}\text{C}$ ดังนั้นจึงเลือกใช้รุ่น TA(S)-120-SB ยานการตรวจจับอุณหภูมิ 0 ถึง 120°C เพื่อตรวจจับอุณหภูมิของอากาศและควบคุมการทำงานของ Heater



รูปที่ 3.5 เทอร์โมสตั๊ก รุ่น TA(S)-120-SB

3.1.7 มิเตอร์วัดไฟฟ้า เนื่องจากเครื่องปรับอากาศใช้ไฟฟ้าขนาด 3.9 A และชุดอุปกรณ์ทำความเย็นให้กับอากาศแบบระบบหล่อเย็นที่ตอนเดนเซอร์ใช้ไฟฟ้าประมาณ 5 A ซึ่งจะต้องมีการต่อใช้ไฟฟ้าจากห้องทดลองดังนั้นจึงเลือกใช้มิเตอร์ไฟฟ้าขนาด 10 A



รูปที่ 3.6 มิเตอร์วัดไฟฟ้า

3.1.8 เครื่องมือวัดความเร็วลม จะใช้อุปกรณ์ที่เรียกว่า Air Velocity Meter สามารถวัดค่าโดยให้ลมผ่านหัววัดแล้วอ่านค่าได้



รูปที่ 3.7 Air Velocity Meter

3.1.9 เครื่องมือวัดค่าอุณหภูมิของอากาศ จะใช้อุปกรณ์ที่เรียกว่า Temperature measuring instrument ซึ่งวิธีการวัดอุณหภูมิจะใช้วิธีเดียวกับที่วัดความเร็วของอากาศ

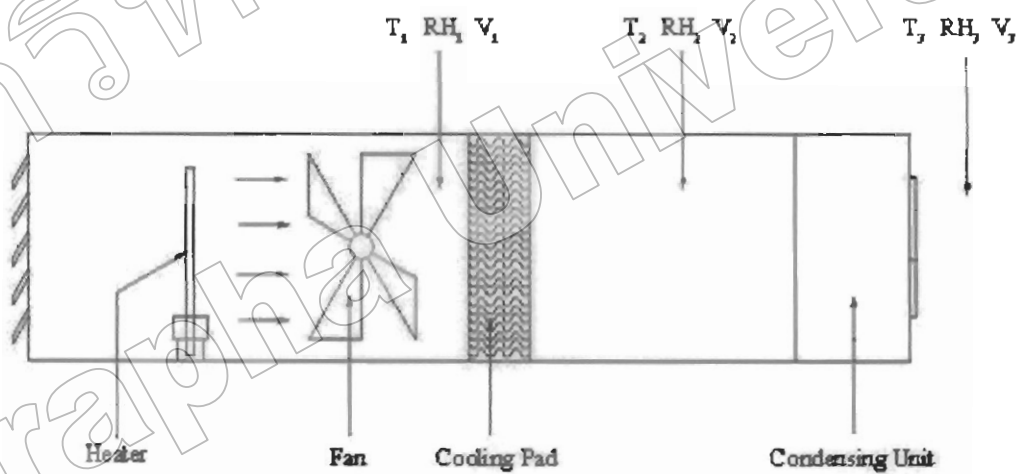


รูปที่ 3.8 Temperature measuring instrument

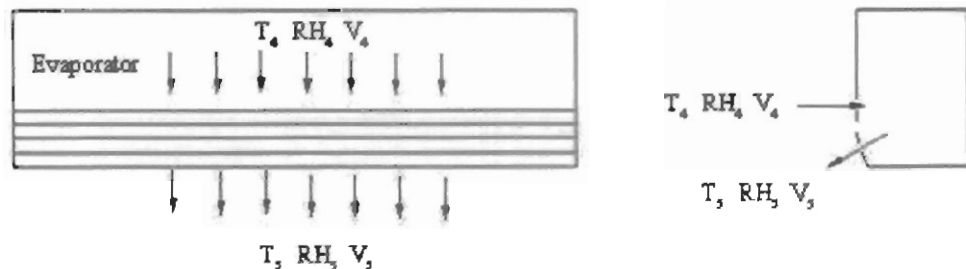
3.2 วิธีการทดลอง

3.2.1 การทดลองโดยไม่ใช้เครื่องทำความเย็นแบบระบบหน้าเข้ามาติดที่คอนเดนเซอร์

- 1) เสียบปลั๊กไฟฟ้าและเปิดเบรกเกอร์ไฟฟ้า
- 2) เปิดเครื่องปรับอากาศและปิดประตูทึบไว้ก่อนทำการทดลองประมาณ 30 นาที ให้ห้องอุณหภูมิห้องทดลองไว้ที่ 25°C
- 3) ควบคุมอุณหภูมิของอากาศก่อนผ่านคอนเดนเซอร์ โดยใช้สต็อกเชอร์ (Heater) เป็นตัวให้พลังงานความร้อนและใช้เทอร์โนสตัทเป็นตัวควบคุมอุณหภูมิที่ 30°C
- 4) เมื่ออุณหภูมิห้องทดลองวัดได้ประมาณ 25°C ทำการเริ่มการทดลองโดยกดบันทึกค่าพลังงานไฟฟ้าของเครื่องปรับอากาศและรีบันทึก
- 5) ทำการบันทึกค่า T_1, RH_1, V_1 , T_2, RH_2, V_2 , T_3, RH_3, V_3 , T_4, RH_4, V_4 , T_5, RH_5, V_5 ความเร็วลมจ่ายของอิวาวาเรเตอร์, ความเร็วลมก่อนและหลังผ่านคอนเดนเซอร์ ทุกๆ 10 นาที เป็นเวลา 1 ชั่วโมงแล้ว ทำการบันทึกค่าพลังงานไฟฟ้าของเครื่องปรับอากาศจากมิตอร์ไฟฟ้า



รูปที่ 3.9 ตำแหน่งที่วัดค่าอุณหภูมิและความชื้นของอากาศที่ชุดทดลอง Cooling Pad



รูปที่ 3.10 ตำแหน่งที่วัดค่าอุณหภูมิและความชื้นของอากาศที่ Evaporator ภายในห้อง

เมื่อทำการทดลองที่อุณหภูมิ 30°C แล้ว ต่อไปทำการทดลองที่อุณหภูมิอากาศก่อนผ่านคอมเพรสเซอร์ที่ 35°C และ 40°C โดยใช้อิเลคโทร์ (Heater) เป็นตัวให้พลังงานความร้อนและใช้เทอร์บินสต็อกเป็นตัวควบคุมอุณหภูมิ วิธีการทดลองให้ตามวิธีการทดลองดังหัวข้อที่ 1) ถึง 5)

3.2.2 การทดลองโดยใช้เครื่องทำความเย็นแบบระเหยน้ำเข้ามาติดที่คอมเพรสเซอร์



รูปที่ 3.11 การติดเครื่องทำความเย็นแบบระเหยน้ำที่คอมเพรสเซอร์

3.2.2.1 การทดลองแบบไม่เปิดพัดลมของเครื่องทำความเย็นแบบระเหยน้ำ

- 1) ติดตั้งเครื่องทำความเย็นแบบระเหยน้ำเข้าที่คอมเพรสเซอร์
- 2) เปิดปั๊มน้ำทำความเย็นแบบระเหยน้ำ

3) ความคุณอุณหภูมิของอากาศก่อนผ่าน Cooling Pad โดยใช้ชีตเตอร์เป็นตัวให้พลังงานความร้อนและใช้เทอร์ไมสต์เป็นตัวควบคุมอุณหภูมิที่ 30°C

4) เมื่ออุณหภูมิห้องทดลองวัดได้ประมาณ 25°C ทำการเริ่มการทดลองโดยจดบันทึกค่าพลังงานไฟฟ้าของเครื่องปรับอากาศ และพลังงานไฟฟ้าของปั๊มเริ่มจับเวลา

5) ทำการบันทึกค่า $T_1 \text{ RH}_1$, $T_2 \text{ RH}_2$, $T_3 \text{ RH}_3$, $T_4 \text{ RH}_4$, $T_5 \text{ RH}_5$ ความเร็วลมจ่ายของอิวพาเรเตอร์ ความเร็วลมก่อนและหลังผ่านคอนเดนเซอร์ ทุกๆ 10 นาที เป็นเวลา 1 ชั่วโมง แล้วทำการบันทึกค่าพลังงานไฟฟ้าของเครื่องปรับอากาศและพลังงานไฟฟ้าของปั๊ม

เมื่อทำการทดลองที่อุณหภูมิ 30°C เล้า ต่อไปทำการทดลองที่อุณหภูมิอากาศก่อนผ่านคอนเดนเซอร์ที่ 35°C และ 40°C โดยใช้ชีตเตอร์ (Heater) เป็นตัวให้พลังงานความร้อนและใช้เทอร์ไมสต์เป็นตัวควบคุมอุณหภูมิ วิธีการทดลองให้ sama กับขั้นตอนดังข้อที่ 1) ถึง 5)

3.2.2.2 เปิดพัดลมของเครื่องทำความเย็นแบบระเหยน้ำและควบคุมความเร็วที่ 2

m/s

1) เปิดปั๊มและพัดลมระบบทำความเย็นแบบระเหยน้ำ

2) ปรับงานเกริดให้ความเร็วลมก่อนเข้า Cooling Pad มีค่าประมาณ 2 m/s

3) ความคุณอุณหภูมิของอากาศก่อนผ่าน Cooling Pad โดยใช้ชีตเตอร์ (Heater) เป็นตัวให้พลังงานความร้อนและใช้เทอร์ไมสต์เป็นตัวควบคุมอุณหภูมิที่ 30°C

4) เมื่ออุณหภูมิห้องทดลองวัดได้ประมาณ 25°C ทำการเริ่มการทดลองโดยจดบันทึกค่าพลังงานไฟฟ้าของเครื่องปรับอากาศ และพลังงานไฟฟ้าของปั๊ม และพัดลม เริ่มจับเวลา

5) ทำการบันทึกค่า $T_1 \text{ RH}_1$, $T_2 \text{ RH}_2$, $T_3 \text{ RH}_3$, $T_4 \text{ RH}_4$, $T_5 \text{ RH}_5$ ความเร็วลมจ่ายของอิวพาเรเตอร์ ความเร็วลมก่อนและหลังผ่านคอนเดนเซอร์ ทุกๆ 10 นาที เป็นเวลา 1 ชั่วโมง แล้วทำการบันทึกค่าพลังงานไฟฟ้าของเครื่องปรับอากาศและพลังงานไฟฟ้าของปั๊มและพัดลม

เมื่อทำการทดลองที่อุณหภูมิ 30°C เล้า ต่อไปทำการทดลองที่อุณหภูมิอากาศก่อนผ่านคอนเดนเซอร์ที่ 35°C และ 40°C โดยใช้ชีตเตอร์ (Heater) เป็นตัว

ให้พลังงานความร้อนและใช้เทอร์โนสตัทเป็นตัวควบคุมอุณหภูมิ วิธีการทดลอง
ให้ทำการทดลองดังหัวข้อที่ 1) ถึง 5)

3.2.2.3 เปิดพัดลมของเครื่องทำความเย็นแบบระเหยน้ำและควบคุมความเร็วที่ 3

m/s

- 1) เปิดปั๊มและพัดลมระบบทำความเย็นแบบระเหยน้ำ
- 2) ปรับบานเกร์ให้ความเร็วลมก่อนเข้า Cooling Pad มีค่าประมาณ 3 m/s
- 3) ควบคุมอุณหภูมิของอากาศก่อนผ่าน Cooling Pad โดยใช้เซตเตอร์ (Heater) เป็นตัวให้พลังงานความร้อนและใช้เทอร์โนสตัทเป็นตัวควบคุมอุณหภูมิที่ 30°C
- 4) เมื่ออุณหภูมิห้องทดลองจัดได้ประมาณ 25°C ทำการเริ่มการทดลองโดยจดบันทึกค่าพลังงานไฟฟ้าของเครื่องปรับอากาศ และพลังงานไฟฟ้าของปั๊มและพัดลม เริ่มขึ้นเวลา
 - 5) ทำการบันทึกค่า $T_1, RH_1, T_2, RH_2, T_3, RH_3, T_4, RH_4, T_5, RH_5$ ความเร็วลมจากของอิวพอร์เตอร์, ความเร็วลมก่อนและหลังผ่านคอนเดนเซอร์ ทุกๆ 10 นาที เป็นเวลา 1 ชั่วโมง แล้วทำการบันทึกค่าพลังงานไฟฟ้าของเครื่องปรับอากาศและพลังงานไฟฟ้าของปั๊มและพัดลม
- เมื่อทำการทดลองที่อุณหภูมิ 30°C แล้ว ต่อไปทำการทดลองที่อุณหภูมิอากาศก่อนผ่านคอนเดนเซอร์ที่ 35°C และ 40°C โดยใช้เซตเตอร์ (Heater) เป็นตัวให้พลังงานความร้อนและใช้เทอร์โนสตัทเป็นตัวควบคุมอุณหภูมิ วิธีการทดลองให้ทำการวิธีการทดลองดังหัวข้อที่ 1) ถึง 5)

3.2.2.4 เปิดพัดลมของเครื่องทำความเย็นแบบระเหยน้ำและควบคุมความเร็วที่ 4

m/s

- 1) เปิดปั๊มและพัดลมระบบทำความเย็นแบบระเหยน้ำ
- 2) ปรับบานเกร์ให้ความเร็วลมก่อนเข้า Cooling Pad มีค่าประมาณ 4 m/s
- 3) ควบคุมอุณหภูมิของอากาศก่อนผ่าน Cooling Pad โดยใช้เซตเตอร์ (Heater) เป็นตัวให้พลังงานความร้อนและใช้เทอร์โนสตัทเป็นตัวควบคุมอุณหภูมิที่ 30°C

4) เมื่ออุณหภูมิห้องทดลองวัดได้ประมาณ 25°C ทำการเริ่มการทดลอง โดยจดบันทึกค่าพลังงานไฟฟ้าของเครื่องปรับอากาศ และพลังงานไฟฟ้าของปั๊ม และพัคຄம เริ่มจับเวลา

5) ทำการบันทึกค่า $T_1 \text{ RH}_1$, $T_2 \text{ RH}_2$, $T_3 \text{ RH}_3$, $T_4 \text{ RH}_4$, $T_5 \text{ RH}_5$ ความเร็วลม จ่ายของอิวพอร์เตอร์, ความเร็วลมก่อนและหลังผ่านคอนเดนเซอร์ ทุกๆ 10นาที เป็นเวลา 1 ชั่วโมง แล้วทำการบันทึกค่าพลังงานไฟฟ้าของเครื่องปรับอากาศและ พลังงานไฟฟ้าของปั๊มและพัคຄม

เมื่อทำการทดลองที่อุณหภูมิ 30°C แล้ว ต่อไปทำการทดลองที่อุณหภูมิ อากาศก่อนผ่านคอนเดนเซอร์ที่ 35°C และ 40°C โดยใช้สีตเตอร์ (Heater) เป็นตัว ให้พลังงานความร้อนและใช้เทอร์โนสตัทเป็นตัวควบคุมอุณหภูมิ วิธีการทดลอง ให้ดำเนินการทดลองดังนี้(ข้อที่ 1) ถึง 5)

3.2.2.5 เปิดพัคຄમของเครื่องทำความเย็นแบบระบบหน้าและควบคุมความเร็วที่ 6.3 m/s

- 1) เปิดปั๊มและพัคຄมระบบทำความเย็นแบบระบบหน้า
- 2) ปรับนานเกร็คให้ความเร็วลมก่อนเข้า Cooling Pad มีค่าประมาณ 4 m/s
- 3) ควบคุมอุณหภูมิของอากาศก่อนผ่าน Cooling Pad โดยใช้สีตเตอร์ (Heater) เป็นตัวให้พลังงานความร้อนและใช้เทอร์โนสตัทเป็นตัวควบคุมอุณหภูมิ ที่ 30°C
- 4) เมื่ออุณหภูมิห้องทดลองวัดได้ประมาณ 25°C ทำการเริ่มการทดลอง โดยจดบันทึกค่าพลังงานไฟฟ้าของเครื่องปรับอากาศ และพลังงานไฟฟ้าของปั๊ม และพัคຄม เริ่มจับเวลา

5) ทำการบันทึกค่า $T_1 \text{ RH}_1$, $T_2 \text{ RH}_2$, $T_3 \text{ RH}_3$, $T_4 \text{ RH}_4$, $T_5 \text{ RH}_5$ ความเร็วลม จ่ายของอิวพอร์เตอร์, ความเร็วลมก่อนและหลังผ่านคอนเดนเซอร์ ทุกๆ 10นาที เป็นเวลา 1 ชั่วโมง แล้วทำการบันทึกค่าพลังงานไฟฟ้าของเครื่องปรับอากาศและ พลังงานไฟฟ้าของปั๊มและพัคຄม

เมื่อทำการทดลองที่อุณหภูมิ 30°C แล้ว ต่อไปทำการทดลองที่อุณหภูมิ อากาศก่อนผ่านคอนเดนเซอร์ที่ 35°C และ 40°C โดยใช้สีตเตอร์ (Heater) เป็นตัว ให้พลังงานความร้อนและใช้เทอร์โนสตัทเป็นตัวควบคุมอุณหภูมิ วิธีการทดลอง ให้ดำเนินการทดลองดังนี้(ข้อที่ 1) ถึง 5)

บทที่ 4

ผลการทดลองและการวิเคราะห์

ผลการทดลองได้มาจากการวัดที่ติดตั้งในรายละเอียดหัวข้อที่ 3 จะได้ค่าเฉลี่ยผลการทดลองที่ภายในห้องดังตารางที่ 4.1 และค่าเฉลี่ยผลการทดลองภายนอกห้องทดลองดังตารางที่ 4.2

ซึ่งค่าที่ได้จะนำมาคำนวณหาค่า EER และ COP ดังตารางที่ 4.3 ซึ่งรายละเอียดหัวข้อจะแบ่งเป็นการวิเคราะห์โดยคิดที่พลังงานรวมทั้งระบบ การวิเคราะห์โดยคิดที่พลังงานเฉพาะระบบ ปรับอากาศแบบอัตโนมัติ และการวิเคราะห์ระบบปรับอากาศแบบประหยัดน้ำ

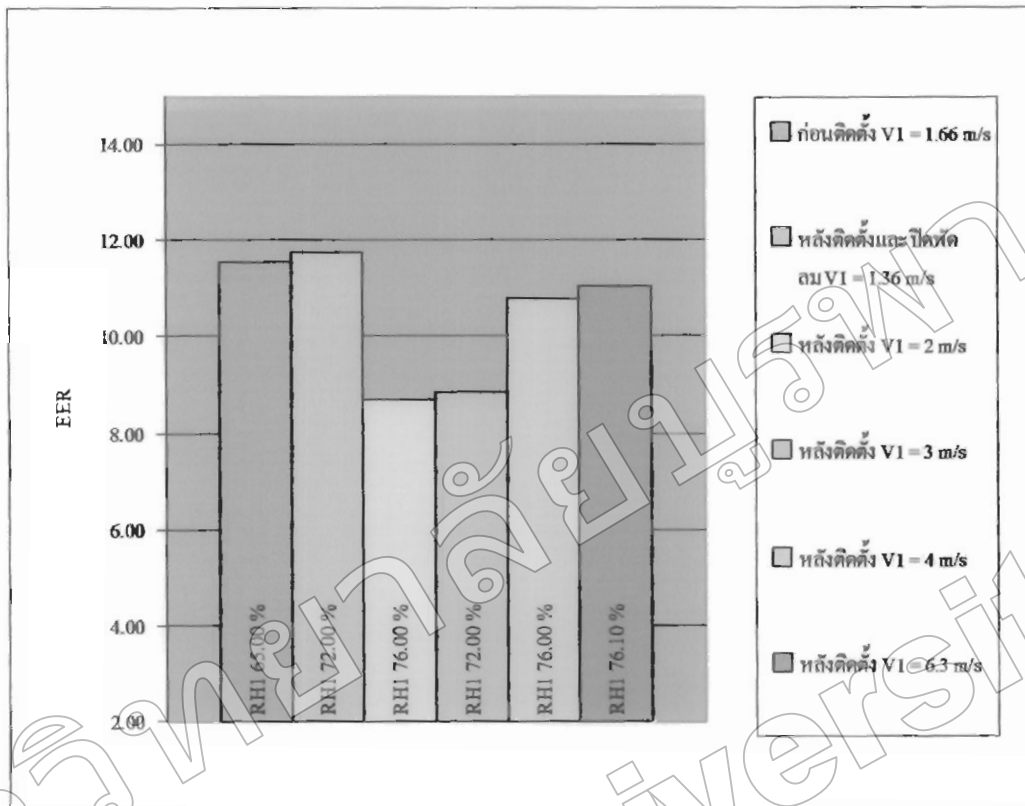
4.1 ผลการทดสอบ

ตารางที่ 4.1 ผลการทดสอบสภาวะอากาศภายนอกห้องทดลองเฉลี่ย

ความคุณอุณหภูมิภายในห้องทดลองที่ 25°C

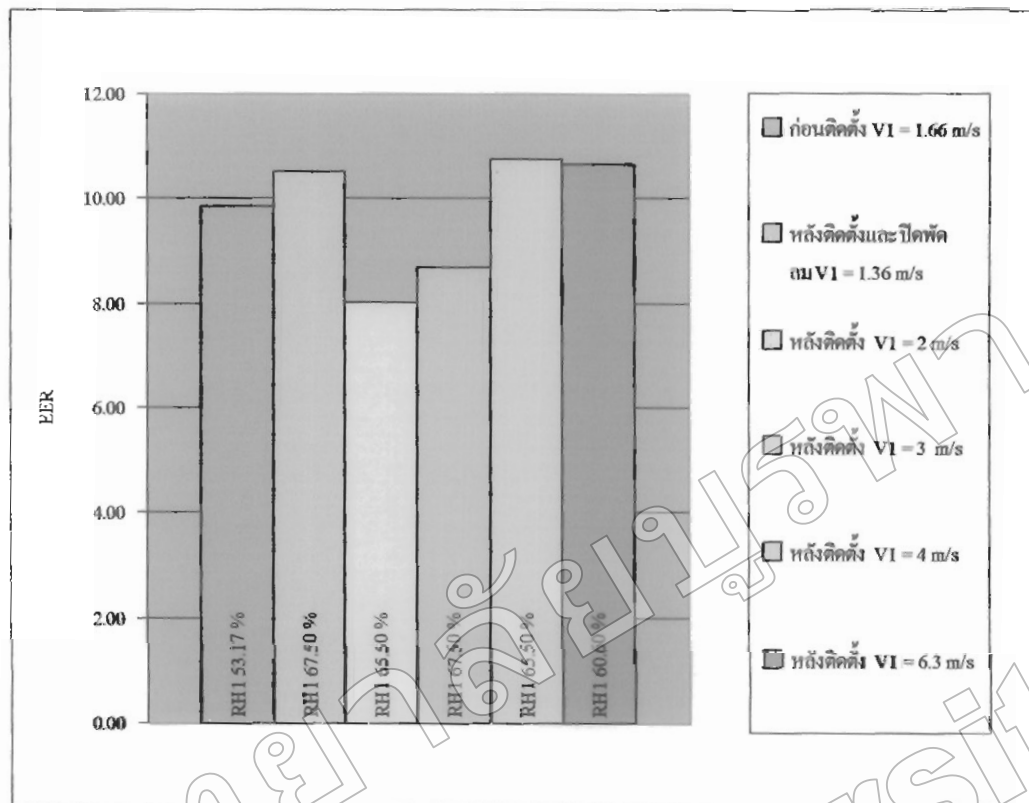
ตารางที่ 4.3 การคำนวณสมรรถนะของเครื่องปรับอากาศแบบอัตโนมัติ

4.2 วิเคราะห์ผลการทดลอง



รูปที่ 4.1 การเปรียบเทียบค่า EER จากค่าไฟฟ้ารวมที่อุณหภูมิ 30°C

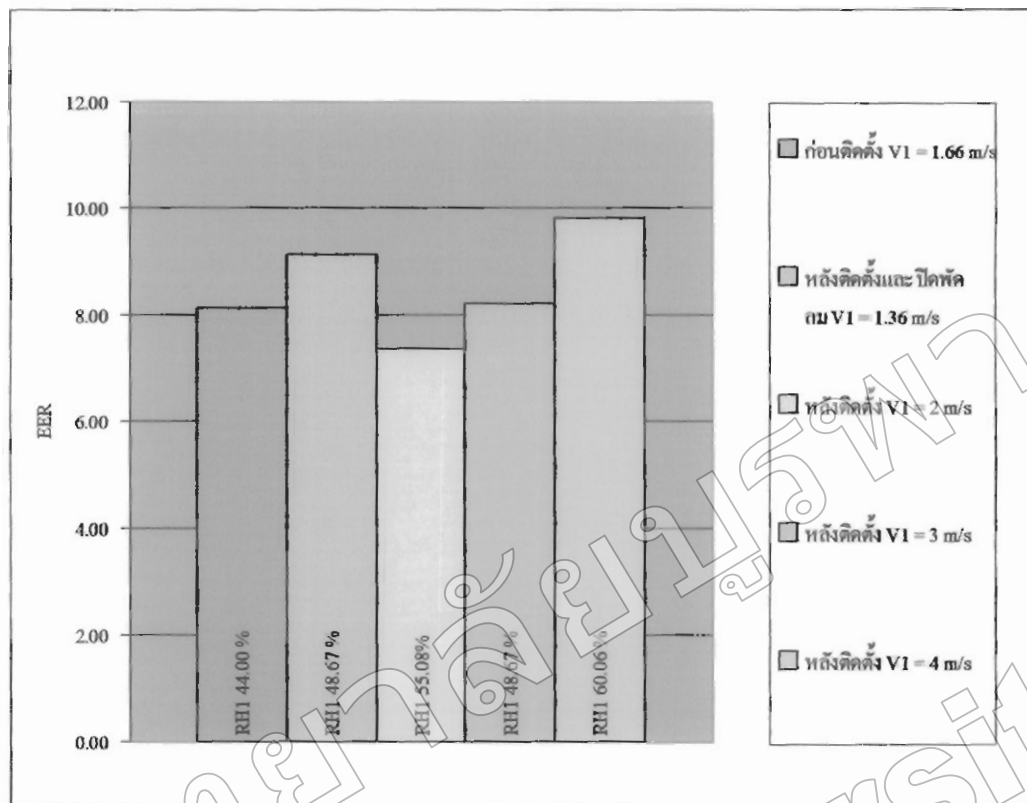
จากรูปที่ 4.1 แสดงให้เห็นว่า EER มีค่าสูงสุดหลังติดตั้งชุดเครื่องปรับอากาศแบบระบบ
น้ำที่ความเร็วลมก่อนเข้าคูลลิ่งแพดเท่ากับ 1.66 m/s (ปิดพัดลม) และค่า EER ต่ำสุดที่หลังติดตั้งชุด
เครื่องปรับอากาศแบบระบบเหล่าน้ำที่ความเร็วลมก่อนเข้าคูลลิ่งแพดเท่ากับ 2 m/s จะเห็นได้ว่าเมื่อเปิด
พัดลมแล้วที่รีบานเกลี้ด์ควบคุมความเร็วลมที่ความเร็วต่างๆ จะทำให้ค่า EER ลดลงตามลำดับ
ความเร้าเพราะพัคลมที่ทำการทดลองมีกำลังวัตต์สูงทำให้ใช้กำลังไฟฟ้ามากเกินความจำเป็น เพราะ
การปรับบานเกลี้ด์เพื่อลดอัตราการไหล จะเป็นการหน่วงกำลังที่ควรจะได้สูงสุด เห็นได้ว่าที่ในการ
ทดลอง ปิดพัดลมและเปิดเฉพาะปั๊มน้ำ จะทำให้ค่า EER สูงสุด ที่อุณหภูมิ 30°C



รูปที่ 4.2 การเปรียบเทียบค่า EER จากค่าไฟฟ้าร้อนที่อุณหภูมิ 35°C

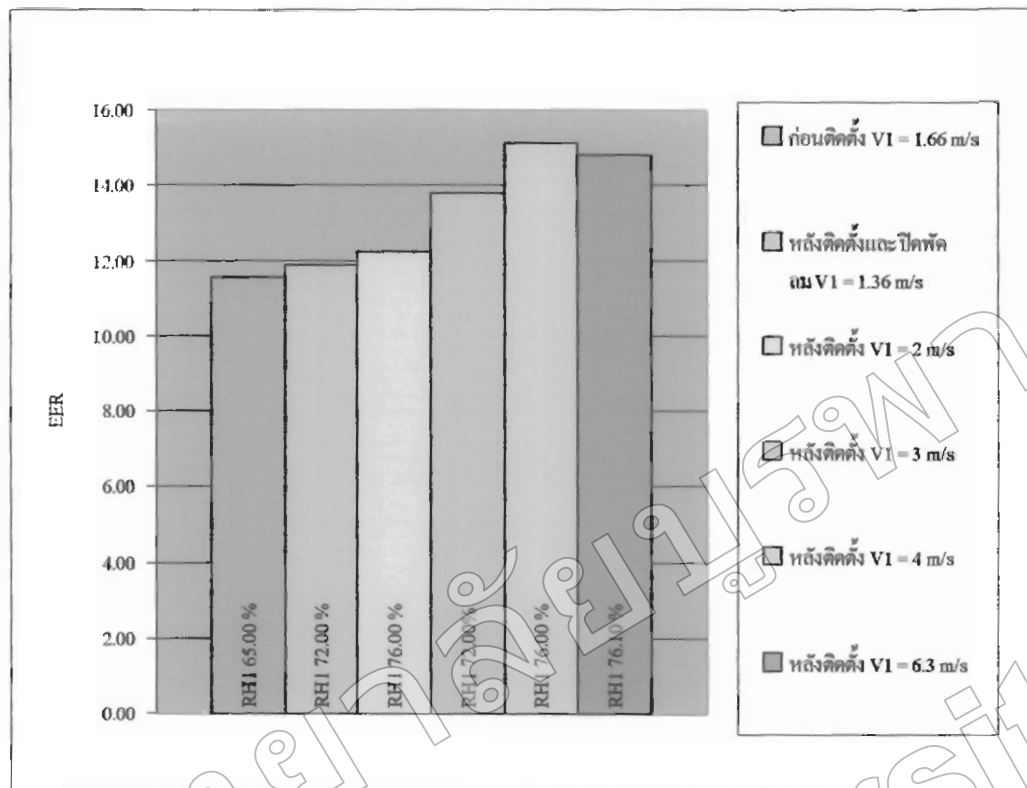
จากรูปที่ 4.2 แสดงให้เห็นว่าค่า EER มีค่าสูงสุดเมื่อก่อติดตั้งชุดเครื่องปรับอากาศแบบระเหยน้ำที่ความเร็วลมก่อติดตั้งชุดเครื่องปรับอากาศแบบระเหยน้ำที่ความเร็วลมเท่ากับ 4 m/s และค่า EER ต่ำสุดที่ก่อติดตั้งชุดเครื่องปรับอากาศแบบระเหยน้ำที่ความเร็วลมก่อติดตั้งชุดเครื่องปรับอากาศแบบระเหยน้ำที่ความเร็วลมเท่ากับ 2 m/s

จะเห็นได้ว่าการทดลองที่อุณหภูมิสูงขึ้น ที่ 35°C จะทำให้ค่า EER ที่ความเร็วลมเท่ากับ 4 m/s ที่ความเร็วลมเท่ากับ 6.3 m/s และที่การทดลองปิดพัดลมจะทำให้ค่า EER สูงกว่าก่อติดตั้ง จะช่วยประหยัดพลังงานกว่าระบบที่ยังไม่ได้ติดตั้ง คูลลิ่งแพดเมื่ออุณหภูมิเพิ่มขึ้นจะทำให้ค่า EER ลดลงทั้งระบบก่อนติดตั้งและหลังติดตั้ง คูลลิ่งแพด และที่อุณหภูมิ 35°C นี้จะได้รับที่ความเร็วลม 6.3 m/s และที่ความเร็วลม 4 m/s ค่า EER ที่ได้จะใกล้เคียงกัน



รูปที่ 4.3 การเปรียบเทียบค่า EER จากค่าไฟฟาร์มที่อุณหภูมิ 40°C

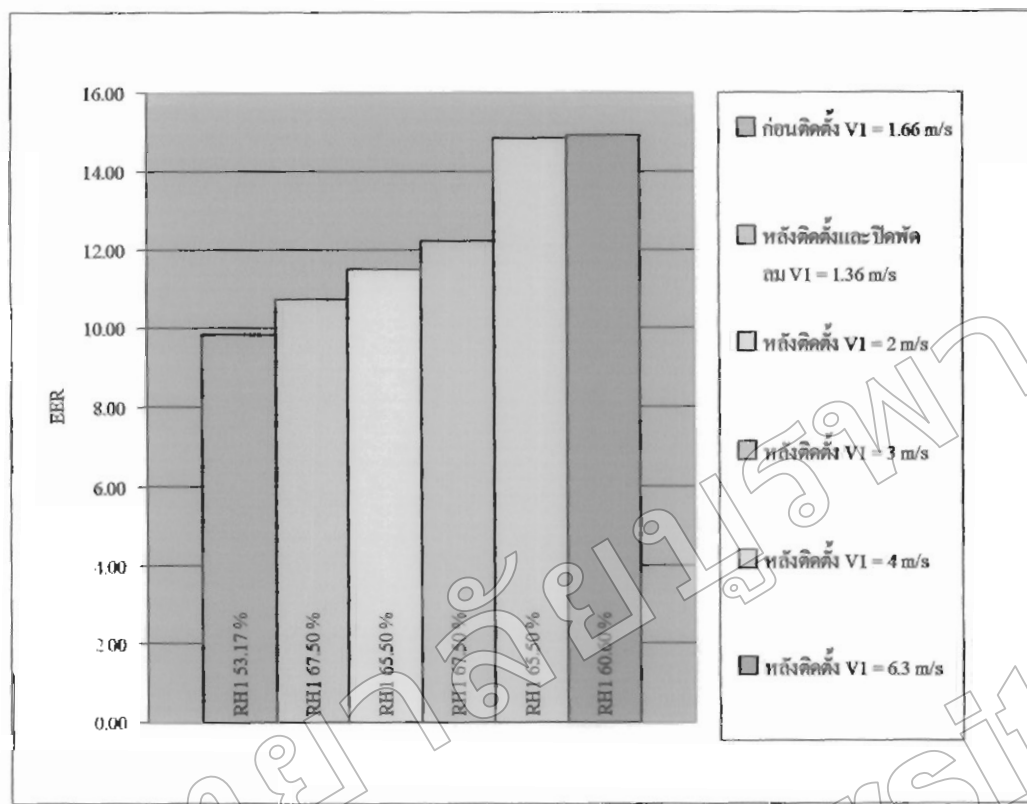
จากรูปที่ 4.3 แสดงให้เห็นว่าค่า EER มีค่าสูงสุดทังดีดังชุดเครื่องปรับอากาศแบบบรรเทา
น้ำที่ความเร็วลมก่อนเข้าคูลลิ่งแพดเท่ากับ 4 m/s และค่า EER ต่ำสุดที่หลังดีดังชุด
เครื่องปรับอากาศแบบบรรเทาน้ำที่ความเร็วลมก่อนเข้าคูลลิ่งแพดเท่ากับ 2 m/s



รูปที่ 4.4 การเปรียบเทียบค่า EER โดยไม่คำนึงถึงสภาพอากาศที่อุณหภูมิ 30°C

จากรูปที่ 4.4 แสดงให้เห็นว่าค่า EER มีค่าสูงสุดหลังดิคต์ชุดเครื่องปรับอากาศแบบระเหยน้ำที่ความเร็วลมก่อนเข้าคูลลิ่งแพดเท่ากับ 4 m/s และค่า EER ต่ำสุดที่ก้อนดิคต์ชุดเครื่องปรับอากาศแบบระเหยน้ำที่ความเร็วลมก่อนเข้าคูลลิ่งแพดเท่ากับ 1.66 m/s

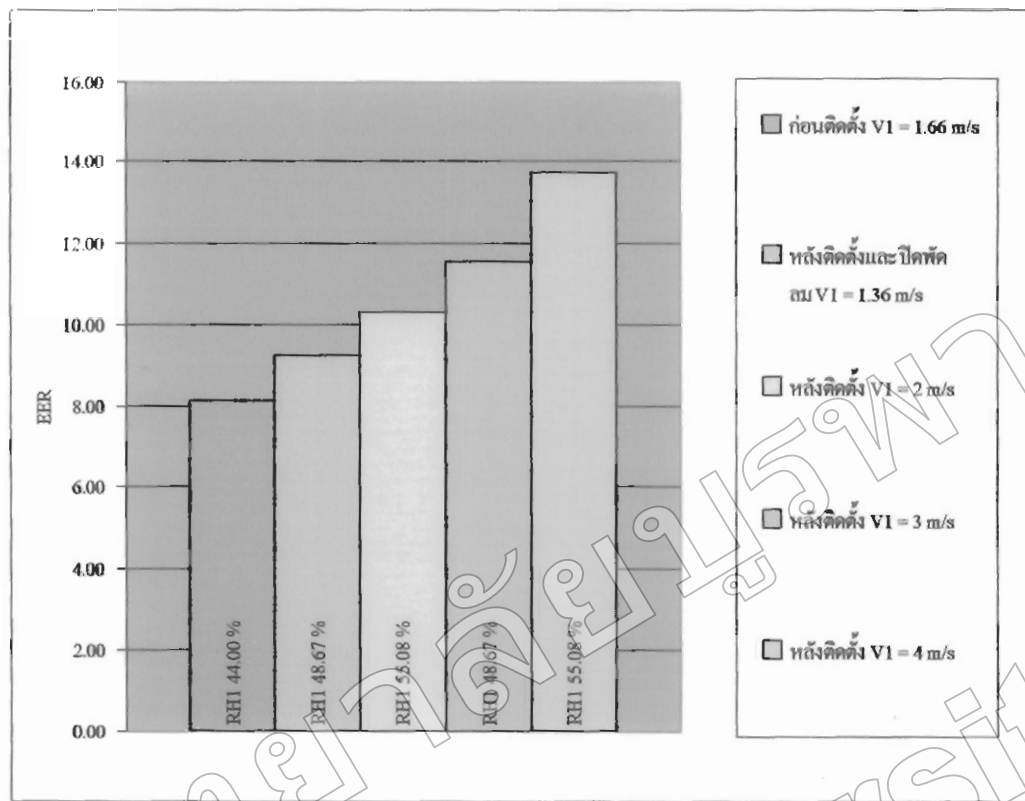
จากรูปจะเห็นได้ว่าที่ความเร็วลมมากขึ้นค่า EER จะดีขึ้นตามลำดับแต่ที่ความเร็วถึง一定程度 ค่า EER จะตกต่ำ ความสามารถถ่ายเทความร้อนที่ ก้อนดิคต์ชุดเครื่องปรับอากาศจะลดลง เนื่องจากที่ความเร็วลมจะทำให้อัตราการระเหยน้ำใน คูลลิ่งแพด ต่ำลงทำให้อุณหภูมิกระแสไปแห้งเพิ่มขึ้น จากความรู้ที่เคยแนะนำไว้ใน การทดลองนี้แสดงให้เห็นว่าที่ อุณหภูมิ 30°C ในระบบเครื่องปรับอากาศ ของ แอร์ รุ่น HS-R0960CH ขนาด 2.5 kW จะมีค่า EER สูงสุดเมื่อมีความเร็วของอากาศผ่านคูลลิ่งแพดที่ 4 m/s เมื่อความเร็วเพิ่มขึ้นค่า EER ที่ได้ต่ำลงเล็กน้อย



รูปที่ 4.5 การเปรียบเทียบค่า EER โดยไม่คำนึงไฟฟ้าจากพัดลมที่อุณหภูมิ 35°C

จากรูปที่ 4.5 แสดงให้เห็นว่าค่า EER มีค่าสูงสุดหลังติดตั้งชุดเครื่องปรับอากาศแบบระเหยน้ำที่ความเร็วลมก่อนเข้าคูลลิ่งแพดเท่ากับ 6.3 m/s และค่า EER ต่ำสุดที่ก่อนติดตั้งชุดเครื่องปรับอากาศแบบระเหยน้ำที่ความเร็วลมก่อนเข้าคูลลิ่งแพดเท่ากับ 1.66 m/s

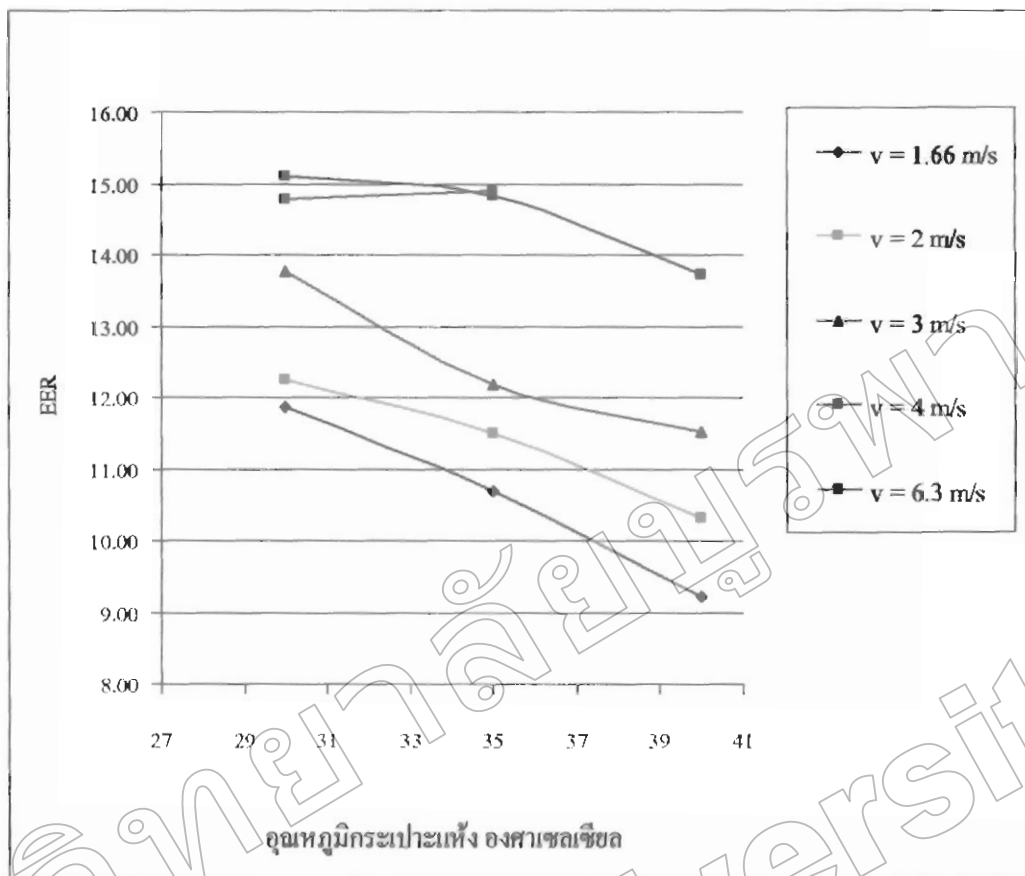
จากรูปจะเห็นได้ว่าที่อุณหภูมิ ความเร็วลมมากขึ้นค่า EER จะดีขึ้นตามลำดับเหมือนที่อุณหภูมิ 30°C แต่ความเร็วลมข้างบนเพิ่มขึ้นได้อีก เพราะค่า EER ยังไม่คงตัวกว่าที่ความเร็วสูงสุดอย่างถาวรคือของหากความเร็วสูงสุดเพื่อให้ค่า EER ที่ได้มีค่าสูงสุด แต่ว่าที่ความเร็วสูงขึ้นนั้นต้องใช้มอเตอร์ตัวใหญ่ขึ้นจะทำให้ใช้กำลังไฟมากกว่าเดิม ทำให้ค่า EER ลดลงอาจเป็นไปได้



รูปที่ 4.6 การเปรียบเทียบค่า EER โดยไม่คำนึงถึงไฟฟ้าหักลมที่อุณหภูมิ 40°C

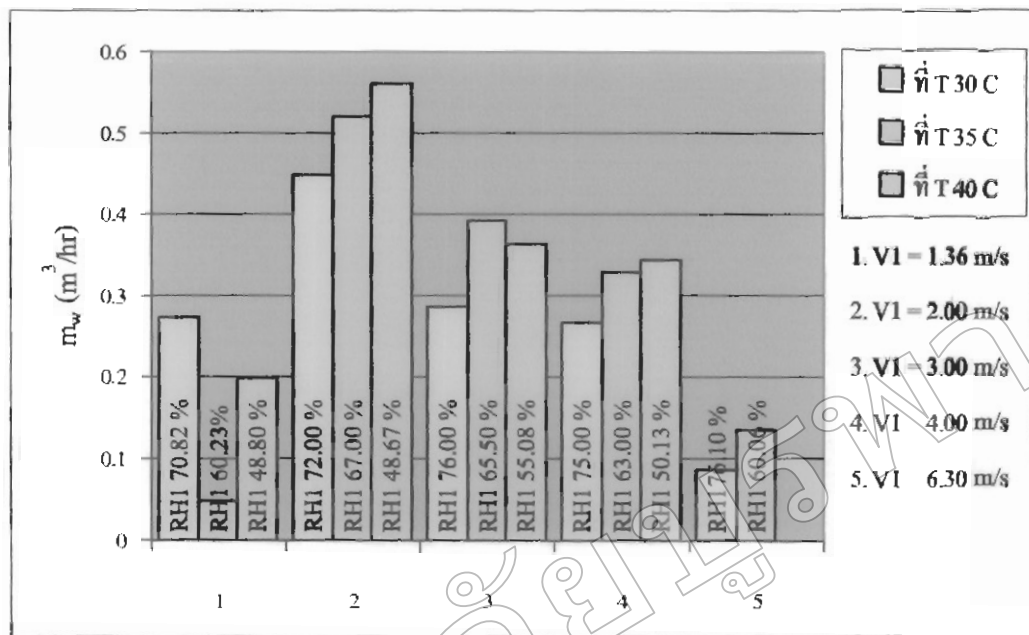
จากรูปที่ 4.6 แสดงให้เห็นว่าค่า EER มีค่าสูงสุดด้วยติดตั้งชุดเครื่องปรับอากาศแบบบรรเทา
น้ำที่ความเร็วลมก่อนเข้าคูลลิ่งแพดเท่ากับ 4 m/s และค่า EER ต่ำสุดที่ก่อนติดตั้งชุด
เครื่องปรับอากาศแบบบรรเทาที่ความเร็วลมก่อนเข้าคูลลิ่งแพดเท่ากับ 1.66 m/s

จากรูปที่ 4.6 ได้ว่าที่ อุณหภูมิ 40°C ถ้าไม่ติดตั้งชุดเครื่องปรับอากาศแบบบรรเทาที่ความเร็ว
ของอากาศก่อนเข้าคูลลิ่งแพดที่ 4 m/s ค่า EER จะมีค่าสูงสุดที่ความเร็ว



รูปที่ 4.7 การเปรียบเทียบค่า EER โดยไม่คำนึงถึงไฟฟ้าจากพัดลมที่อุณหภูมิและความเร็วต่างๆ

จากรูปที่ 4.7 จะเห็นได้ว่าที่ความเร็วลมมากขึ้นค่า EER จะเพิ่มขึ้นและจะค่า EER จะลดลงที่อุณหภูมิสูงขึ้น และที่อุณหภูมิ 30°C จะเห็นได้ว่าการเพิ่มความเร็วจาก 4 m/s ไป 6.3 m/s จะทำให้ค่า EER ต่ำลงอีกนิดที่อุณหภูมิ 35°C ค่า EER จะค่อนข้างคงที่เมื่อเทียบกับที่อุณหภูมิ 30°C แม้เมื่อเทียบกับความเร็วต่างๆแนวโน้มของผลต่างของค่า EER จะไม่เพิ่มขึ้นอีกตามความเร็วลมที่เพิ่มขึ้น จากราฟจะเห็นได้ว่าที่ความเร็ว และที่อุณหภูมินั่น จะมีความเร็วค่าหนึ่งที่ทำให้ค่า EER สูงสุด



รูปที่ 4.8 อัตราการระเหยน้ำที่ความเร็วลมต่างๆ ก่อนเข้า Cooling Pad

จากรูปที่ 4.8 จะเห็นได้ว่ามีความเร็วเพิ่มขึ้นจะทำให้อัตราการระเหยน้ำลดลงแต่เมื่ออุณหภูมิของเปลาเพิ่มขึ้นและค่าความชื้นสัมพัทธ์คงจะทำให้อัตราการระเหยน้ำเพิ่มมากขึ้น สำหรับที่ความเร็วลมที่ 1.36 m/s คือการปิดพัดลมให้ความเร็วเร้นดัน ค่าที่ได้อาจมีผลลัพธ์เนื่องจากเป็นค่าเริ่มต้นจึงเป็นความเร็วลมที่ถอนคนซึ่งบุนค่าได้เท่านั้น

บทที่ 5

สรุปผลและข้อเสนอแนะ

จากการศึกษาถึงทดลองสมรรถนะเครื่องปรับอากาศแบบอัดไอด้วยการทำความเย็นแบบ
ระเหยน้ำที่ค่อนเด่นเชอร์ตามวัตถุประสงค์ในหัวข้อที่ 1.2 โดยทำการศึกษาทฤษฎีและงานวิจัยที่
เกี่ยวข้องในบทที่ 2 จากนั้นได้สร้างห้องทดลองและติดตั้งเครื่องปรับอากาศในหัวข้อที่ 3 และทำ
การทดลองเครื่องปรับอากาศแบบอัดไอด้วยการทำความเย็นแบบระเหยน้ำที่ค่อนเด่นเชอร์ เพื่อหา
สมรรถนะเครื่องปรับอากาศ

จากการทดลองและการวิเคราะห์ผลการทดลองในหัวข้อที่ 4 จะสามารถสรุปผลการ
ทดลองในหัวข้อที่ 5.1 และมีข้อเสนอแนะที่กล่าวถึงปัญหาและแนวทางการแก้ไขในหัวข้อที่ 5.2

5.1 สรุปผลการดำเนินโครงการ

จากการทดลองในบทที่ 4 พบร่วม

ที่อุณหภูมิสิ่งแวดล้อม (อากาศ) เป็น 30°C ค่า EER (รวม) และ COP (รวม) มีค่าสูงสุดเมื่อมี
การติดตั้งชุดอุปกรณ์ทำความเย็นให้กับอากาศแบบระเหยน้ำที่ค่อนเด่นเชอร์ โดยมีความเร็วของ
อากาศก่อนผ่านคูลลิ่งแพดเป็น 1.36 m/s (ไม่เปิดพัดลมที่ชุดอุปกรณ์ทำความเย็นให้กับอากาศ)

ที่อุณหภูมิสิ่งแวดล้อม (อากาศ) เป็น 35°C ค่า EER (รวม) และ COP (รวม) มีค่าสูงสุดเมื่อมี
การติดตั้งชุดอุปกรณ์ทำความเย็นให้กับอากาศแบบระเหยน้ำที่ค่อนเด่นเชอร์ โดยมีความเร็วของ
อากาศก่อนผ่านคูลลิ่งแพดเป็น 4 m/s

ที่อุณหภูมิสิ่งแวดล้อม (อากาศ) เป็น 40°C ค่า EER (รวม) และ COP (รวม) มีค่าสูงสุดเมื่อมี
การติดตั้งชุดอุปกรณ์ทำความเย็นให้กับอากาศแบบระเหยน้ำที่ค่อนเด่นเชอร์ โดยมีความเร็วของ
อากาศก่อนผ่านคูลลิ่งแพดเป็น 4 m/s

เนื่องจากชุดอุปกรณ์ทำความเย็นให้กับอากาศแบบระเหยน้ำมีเครื่องสูบน้ำและพัดลมเป็น
ส่วนประกอบซึ่งเป็นอุปกรณ์ที่ใช้กระแสไฟฟ้า โดยเฉพาะพัดลมที่ใช้ในการทดสอบนี้เป็นแบบ
ความเร็วคงที่ทำให้การปรับเปลี่ยนความเร็วของอากาศก่อนผ่านค่อนเด่นเชอร์ให้มีค่าตามความ

ต้องมีการปรับอุปกรณ์เพิ่มความเสียดทานให้กับอากาศ ซึ่งทำให้ความสูญเสียพลังงานและอาจเป็นผลทำให้ผลการทดสอบมีความคลาดเคลื่อนหรือผิดพลาดได้

จากวัตถุประสงค์การศึกษาถึงทดลองสมรรถนะของเครื่องปรับอากาศแบบอัดไอด้วยการทำความเย็นแบบระบบเหน้น้ำที่ค่อนเดนเซอร์ เพื่อหาค่าสมรรถนะของเครื่องปรับอากาศแบบอัดไอศึกษาถึงปัจจัยความเร็วลมและอุณหภูมิที่มีผลต่อสมรรถนะภาพของเครื่องปรับอากาศโดยตรง โดยทดลองที่สภาพอุณหภูมิของประเทศไทย ซึ่งการทดลองมีรายละเอียดในหัวข้อที่ 3 จากการทดลองและวิเคราะห์ผลจะได้ว่าที่เครื่องปรับอากาศปกติเมื่ออุณหภูมิด้านสูงขึ้นจะทำให้สมรรถนะของเครื่องปรับอากาศลดลง แต่เมื่อได้ใช้ระบบระเหยน้ำเข้าช่วย ที่อุณหภูมิสูงกว่า 35°C จะช่วยให้ระบบมีค่าสมรรถนะเพิ่มขึ้น (EER) 8.86% ซึ่งอาจเพิ่มขึ้นอย่างมากเพื่อว่าการทดลองนี้ใช้มอเตอร์พัดลมโดยไม่ต้องตัวน้ำใช้กำลังไฟ 0.12 kW ซึ่งเป็นมอเตอร์คู่ข้างใหญ่และใช้กำลังไฟฟ้าเกินความจำเป็นจึงได้ทำการทดลองที่ความเร็วลมต่างๆ ที่มีผลกับค่าสมรรถนะของเครื่องปรับอากาศแบบอัดไอโดยไม่คิดค่ากำลังไฟฟ้าจากพัดลม เมื่อควบคุมอุณหภูมิกระเพาะแห้งที่จุดหนึ่ง จะได้ว่าที่ความเร็วหนึ่งจะให้ค่าสมรรถนะของเครื่องปรับอากาศแบบอัดไอสูงสุดเมื่อความเร็วเกินจุดนี้ไปแล้วค่าสมรรถนะของเครื่องปรับอากาศแบบอัดไอจะไม่เพิ่มขึ้นอีก แต่เมื่อทดลองที่อุณหภูมิสูงแล้วล้อมเพิ่มขึ้นค่าความเร็วลมที่ทำให้ค่าสมรรถนะของเครื่องปรับอากาศเปลี่ยนไปด้วยสามารถนำค่าการวิเคราะห์ไปเลือกใช้พัดลมที่ความเร็วลมเหมาะสมได้ และได้ทำการทดสอบของไอน้ำในระบบระเหยน้ำที่อัตราเร็วลมที่เข้าสูงจะทำให้การระเหยน้ำต่ำกว่าที่ความเร็วลมต่ำเมื่ออุณหภูมิกระเพาะเปียกเพิ่มขึ้นและความชื้นสัมพัทธ์ลดลงจะทำให้การอัตราการระเหยมากขึ้น ซึ่งมีผลโดยตรงกับการถ่ายเทความร้อนที่ค่อนเดนซิงบูนิตอีกด้วย

5.2 ข้อเสนอแนะ

5.2.1 ในการทำการทดลองควรคำนึงถึงช่วงเวลาทำการทดลองและสภาพแวดล้อมต่างๆ ซึ่งทำให้มีผลต่อคุณสมบัติอากาศ

5.2.2 อุปกรณ์ที่ใช้ในการวัดปริมาตรกระแสไฟฟ้า มีความละเอียดน้อยทำให้การอ่านค่าคลาดเคลื่อนได้

5.2.3 ในการปรับปรุงการทดลองควรเลือกพัดลมให้มีขนาดที่ให้ความเร็ว ใกล้เคียงกับค่าความเร็วที่ทำให้ค่าสมรรถนะของเครื่องปรับอากาศแบบอัดไอสูงสุดที่อุณหภูมิเดียวกัน

5.2.4 ควรวัดค่าอุณหภูมิและความดันจากสารทำความเย็นเพื่อหาค่าสมรรถนะเพื่อเทียบกับการวัดค่าที่คอบยล์เย็นเพื่อความแม่นยำมากขึ้น

5.2.5 เนื่องจากเครื่องปรับอากาศในการทดลอง อาจมีการรั่วไหลของสารทำความเย็นจึงควรตรวจสอบค่าความดัน

เอกสารอ้างอิง

ธนกานยน์ ภัตราภานุน์ และบรรดง ศรนิล. เทอร์โน ไคนามิกส์ประยุกต์ หน่วย SI รวมเล่ม 1 และ 2.

กรุงเทพฯ : สถาบันเทคโนโลยีพระจอมเกล้า พระนครเหนือ, 2524. หน้า 389-395

มนตรี พิรุณเกยตร. กลศาสตร์ของไอล ฉบับเสริมประสบการณ์. กรุงเทพฯ : วิทยพัฒนา,
2542. หน้า 324

สมศักดิ์ สูโนตยกุล. เครื่องทำความเย็นและเครื่องปรับอากาศ. กรุงเทพฯ : ชีเอ็ดยูเคชั่น, 2545.

สุรพล พฤกษพานิช. การปรับอากาศ. กรุงเทพฯ : ชีเอ็ดยูเคชั่น, 2538.

<http://www.wescorhvac.com/EvapWhitePaper.html>

ภาคผนวก ก

ข้อมูลจำเพาะเครื่องปรับอากาศยึดห้อง แออลจี รุ่น HS-R0960CH ขนาด 2.5 KW

ขนาดทำความเย็น	2.5 KW
แรงดันไฟฟ้า, ความถี่, เฟส	220 V, 50 Hz, 1 Φ
กำลังไฟฟ้า	777 Watt
กระแสไฟ	3.9 A
ค่า COP	3.19
ค่า EER	10.7
ค่าประหยัดไฟ	เบอร์ 5
อัตราหมุนเวียนอากาศภายใน	7.3 m ³ /min
การควบคุมความชื้น	1.2 l/hr
ระบบฟอกอากาศ	Electrostation
คอมเพรสเซอร์	Rotary
ขนาดภายใน (ก x ส x ล)	900 × 285 × 156 mm
ขนาดภายนอก (ก x ส x ล)	740 × 624 × 270 mm
น้ำหนักสุทธิภายใน	8 kg
น้ำหนักสุทธิภายนอก	30 kg
การต่อท่อของเหลว	เส้นผ่านศูนย์กลาง 6.35 mm
การต่อท่อแก๊ส	เส้นผ่านศูนย์กลาง 12.7 mm
สารทำความเย็น	R-22
พื้นที่ซ่องจ่ายลม (Supply air grille)	7 cm × 80 cm

ภาคผนวก บ

ตารางที่ B.1 ผลการทดสอบสภาวะอากาศในห้องทดลองครั้งที่ 1
ควบคุมอุณหภูมิกายในห้องทดลองที่ 25 ($^{\circ}\text{C}$)

ตารางที่ ข.3 ผลการทดสอบสภาพอากาศในห้องทดสอบครั้งที่ 3

ความคุณลักษณะพิเศษในห้องทดสอบที่ 25 (°C)

	ความเร็วลมของอากาศ ก่อนผ่าน Cooling Pad	สิ่งแวดล้อม		Evaporator				กำลังไฟฟ้า เครื่องปรับอากาศ (W)	
		T_1 (°C)	RH ₁ (%)	ลมเข้า		ลมกลับ			
				T ₄ (°C)	RH ₄ (%)	T ₅ (°C)	RH ₅ (%)		
ก่อนติดตั้ง Cooling Pad	1.66 m/s	30	65	25	68	19	92	3 1000	
		35	53	25	70	17	93	3 1090	
		40	44	25.6	64	17.5	82	3 1200	
หลังติดตั้ง Cooling Pad	1.36 m/s (ปิดพัดลม)	30	70.5	28.3	60.4	22.8	84	3 1030	
		35	60.5	27.6	67.5	22.4	86.7	3 1060	
		40	45.9	27.7	56.3	21.7	80.5	3 1030	
	2 m/s	30	72	27.5	74	21	92	3 1020	
		35	70	26.5	72	20	93	3 1060	
		40	46	27.5	73	21	95	3 1180	
	3 m/s	30	76	27	79	21	98	3 1000	
		35	65	27.5	72	20.5	96	3 1170	
		40	55	27.5	73	20	94	3 1140	
	4 m/s	30	75	27.5	74	20	96	3 1050	
		35	65	27.5	75	20	94	3 1080	
		40	52	28	74	20	92	3 1050	
	6.3 m/s	30	74.2	26.3	93.8	34.1	73.2	3 983	
		35	66.5	28	84.2	27.4	76.8	3 1000	
		-	-	-	-	-	-	-	

ตารางที่ ข.4 ผลการทดสอบสภาพอากาศในห้องทดลองครั้งที่ 4

ควบคุมอุณหภูมิกายในห้องทดลองที่ 25°C

ตารางที่ บ.5 ผลการทดสอบสภาพอากาศในห้องทดลองครั้งที่ 5

ควบคุมอุณหภูมิกายในห้องทดลองที่ 25 ($^{\circ}\text{C}$)

ตารางที่ ข.6 ผลการทดลองสภาวะอากาศในห้องทดสอบครั้งที่ 6

ความคุณอุณหภูมิกายในห้องทดลองที่ 25 (°C)

	ความเร็วลมของอากาศ ก่อนผ่าน Cooling Pad	สิ่งแวดล้อม		Evaporator				กำลังไฟฟ้า เครื่องปรับอากาศ (W)	
		T ₁ (°C)	RH ₁ (%)	ลมขาเข้า		ลมขาออก			
				T ₄ (°C)	RH ₄ (%)	T ₅ (°C)	RH ₅ (%)		
ก่อนติดตั้ง Cooling Pad	1.66 m/s	30	65	26	65	20	80	3 1000	
		35	53	25	68.5	20	89	3 1090	
		40	44	25.3	71	19	90	3 1200	
หลังติดตั้ง Cooling Pad	1.36 m/s (ปิดพัดลม)	30	72.4	28.1	60.6	22	81.3	3 1030	
		35	61.2	28.2	64.1	22.1	88.2	3 1060	
		40	49	28.6	65.6	23.1	89.6	3 1030	
	2 m/s	30	72	27	76	20	95	3 1020	
		35	67	26.8	75	20	92	3 1060	
		40	50	27	73	21	94	3 1180	
	3 m/s	30	76	27.5	76	20.5	95	3 1000	
		35	67	28	76	20.5	95	3 1170	
		40	55	27.1	74	21	96	3 1140	
	4 m/s	30	75	27	78	19.6	95	3 1050	
		35	65	28	76	19.5	94	3 1080	
		40	49	28	74	20	95	3 1050	
	6.3 m/s	30	78.5	26.3	90.3	30.6	68.3	3 983	
		35	57.3	31.2	83.3	35.8	70.2	3 1000	
		-	-	-	-	-	-	-	

ตารางที่ ข.7 ผลการทดลองสภาวะอากาศในห้องทดสอบเฉลี่ย

ความคุณอุณหภูมิกายในห้องทดสอบที่ 25 (°C)

	ความเรื้อรังของอากาศ ก่อต้นผ่าน Cooling Pad	สิ่งแวดล้อม		Evaporator				กำลังไฟฟ้า เครื่องปรับอากาศ (W)	
		T ₁	RH ₁	ลมขาเข้า		ลมขาขึ้น			
		(°C)	(%)	T ₄ (°C)	RH ₄ (%)	T ₅ (°C)	RH ₅ (%)		
ก้อนติดตั้ง Cooling Pad	1.66 m/s	30	65	25.42	65.17	17.75	85.83	3 1000	
		35	53.17	25.17	68.58	18.67	85.83	3 1090	
		40	44	25.47	66.33	18.45	88.67	3 1200	
หลังติดตั้ง Cooling Pad	1.36 m/s (ปิดพัดลม)	30	70.83	27.75	60.97	22.10	81.93	3 1030	
		35	60.23	27.75	63.02	21.92	83.55	3 1060	
		40	48.8	27.97	61.93	22.2	83.02	3 1030	
	2 m/s	30	72	27.13	74.33	20.42	94.00	3 1020	
		35	67.5	26.72	74.83	20.17	93.17	3 1060	
		40	48.67	27	72.67	20.28	94.67	3 1180	
		30	76	26.85	75.67	19.83	94.17	3 1000	
		35	65.5	27.33	75	20.33	93.50	3 1170	
		40	55.08	27.35	75.00	20.5	93.67	3 1140	
	4 m/s	30	75	27.5	75.08	20.02	93.33	3 1050	
		35	64	27.58	74.83	20	93.33	3 1080	
		40	50.13	27.6	71.83	19.83	92.83	3 1050	
	6.3 m/s	30	76.1	28.8	74.3	20.4	85.4	3 983	
		35	60.06	26.8	60	21.1	70.8	3 1000	
		-	-	-	-	-	-	-	

ตารางที่ บ.๙ ผลการทดสอบสภาวะอากาศนอกห้องทดลองครั้งที่ 2
ความคุณอุณหภูมิกายในห้องทดลองที่ 25 ($^{\circ}\text{C}$)

ตารางที่ ช.10 ผลการทดลองสภาวะอากาศนอกห้องทดลองครั้งที่ 3
ความชุ่มอุณหภูมิกายในห้องทดลองที่ 25 (°C)

ความเร็วลมของอากาศ ก่อนผ่าน Cooling Pad	Sizing Data	Condensing Unit						กำลังไฟฟ้า ปั๊มน้ำและพัดลม	
		T_1 (°C)	RH_1 (%)	ด้านเข้า		ด้านออก			
				T_2 (°C)	RH_2 (%)	T_3 (°C)	RH_3 (%)		
ก่อนติดตั้ง Cooling Pad	1.66 m/s	30	65	30	65	36	50	3	
		35	53	35	53	40	45	3	
		40	44	40	44	43.5	34.5	3	
หลังติดตั้ง Cooling Pad	1.36 m/s (ปีพัดลม)	30	75	29	89	36	61	2.7	
		35	70	31.5	88	38.4	63	2.8	
		40	60	34.5	82	38.2	65	3	
	2 m/s	30	72	27	90.5	36.5	65	3.1	
		35	70	33.7	81.5	39.3	63.8	3.1	
		40	46	35	76.5	41	60	3.1	
	3 m/s	30	76	28	90	35.5	62	3.2	
		35	65	32	80	39.6	52	3.2	
		40	55	35	76	41	48	3.2	
	4 m/s	30	75	27.5	92	37	56	3.4	
		35	65	31.5	82	38.1	57	3.4	
		40	52	32	80	39	53.5	3.4	
	6.3 m/s	30	77.9	29.4	76.2	20.4	80.3	4	
		35	60.8	25.8	58.6	21.1	68.2	4	
		-	-	-	-	-	-	-	

ตารางที่ ข.11 ผลการทดลองสภาวะอากาศนอกห้องทดสอบครั้งที่ 4

ความคุณอุณหภูมิกายในห้องทดลองที่ 25 (°C)

ความเร็วลมของอากาศ ก่อนผ่าน Cooling Pad	สิ่งแวดล้อม	Condensing Unit						กำลังไฟฟ้า ปั๊มน้ำและพัดลม (W)	
		T_1 (°C)	RH_1 (%)	ด้านเข้า		ด้านออก			
				T_2 (°C)	RH_2 (%)	T_3 (°C)	RH_3 (%)		
ก่อนติดตั้ง Cooling Pad	1.66 m/s	30	65	30	65	36	50	-	
		35	53	35	53	40	45	-	
		40	44	40	44	43	35.5	-	
หลังติดตั้ง Cooling Pad	1.36 m/s (ปิดพัดลม)	30	74	29	90	35	70	2.7 10.2	
		35	71	30	89	38	58	2.8 19.8	
		40	63	33	81	39	60	2.8 10.2	
	2 m/s	30	72	27.5	92.5	35	66.5	3.1 252	
		35	71	34	81	37	66	3.1 276	
		40	50	34	79	39	59	3.1 282	
	3 m/s	30	76	27.5	88	35	64	3.2 334.8	
		35	65	32	76	40	50	3.2 282	
		40	56	33.5	77	40.5	55	3.2 274.8	
	4 m/s	30	75	28	90	37	56	3.4 252	
		35	60	30.5	83	39	56	3.4 246	
		40	50	32.6	76	39.5	49.5	3.4 252	
	6.3 m/s	30	72.6	28.5	75.3	20.4	82.1	4 199.8	
		35	61.5	26.3	61.2	21.1	66.2	4 240	
		-	-	-	-	-	-	-	

ตารางที่ ข.12 พลการทดสอบสภาพอากาศนอกห้องทดลองครั้งที่ 5
ความคุณอุณหภูมิกายในห้องทดลองที่ 25 (°C)

	ความเร็วลมของอากาศ ก่อนผ่าน Cooling Pad	สิ่งแวดล้อม		Condensing Unit				กำลังไฟฟ้า ปั๊มน้ำและพัดลม (W)	
		T_1 (°C)	RH ₁ (%)	ด้านเข้า		ด้านออก			
				T ₂ (°C)	RH ₂ (%)	T ₃ (°C)	RH ₃ (%)		
ก่อนติดตั้ง Cooling Pad	1.66 m/s	30	65	30	65	36	37	3	
		35	53	35	53	40	40	3	
		40	44	40	44	43.1	42.5	3	
หลังติดตั้ง Cooling Pad	1.36 m/s (ปิดพัดลม)	30	75	30	90	35	61	2.7 10.2	
		35	71	31	87	38	62	2.8 19.8	
		40	60	35	82	39	65	2.8 10.2	
	2 m/s	30	72	28	90	35	35	3.1 252	
		35	67	31.8	84	38	38	3.1 276	
		40	51	36	75	41	39.7	3.1 282	
	3 m/s	30	76	28	82	38	39	3.2 334.8	
		35	65	32	83	40	40	3.2 282	
		40	57	34.5	78	41	40	3.2 274.8	
	4 m/s	30	75	27.5	88	37	36	3.4 252	
		35	66	31.2	86	38	36.5	3.4 246	
		40	49	32.4	78	39	38.5	3.4 252	
	6.3 m/s	30	77.5	28.1	74.1	20.4	84.4	4 199.8	
		35	61.1	26.8	57.6	21.1	75.1	4 240	
		-	-	-	-	-	-	-	

ตารางที่ บ.13 ผลการทดสอบสภาวะอากาศนอกห้องทดลองครั้งที่ 6
ควบคุมอุณหภูมิกายในห้องทดลองที่ 25 ($^{\circ}\text{C}$)

ตารางที่ ข.14 ผลการทดสอบสภาวะอากาศนอกห้องทดลองโดยเฉลี่ย

ควบคุมอุณหภูมิกายในห้องทดลองที่ 25°C

ภาคผนวก ค

ตัวอย่างการคำนวณ

ใช้ผลการทดลอง ก่อนติดตั้ง Cooling Pad

$$\begin{array}{ll}
 \text{โดย } T_1 = 30^\circ\text{C}, & RH_1 = 65\% \\
 T_2 = 30^\circ\text{C}, & RH_2 = 65\% \\
 T_3 = 25.42^\circ\text{C}, & RH_3 = 65.17\% \\
 T_4 = 17.75^\circ\text{C}, & RH_4 = 85.83\%
 \end{array}$$

พลังงานไฟฟ้าของระบบ 1000 Watt

พื้นที่ของ Return เท่ากับ $80\text{cm} \times 7\text{cm} = 560 \text{ cm}^2$

ความเร็วลมที่ผ่าน เท่ากับ 3 m/s

$$\text{จะได้ Air Flow} = \frac{560 \text{ cm}^2 \times 3 \text{ m/s}}{10000} = 0.17 \text{ m}^3/\text{s}$$

$$= (0.17 \text{ m}^3/\text{s}) \times \frac{\left(\frac{1}{0.3048}\right)}{60} = 356 \text{ ft}^3/\text{min}$$

แปลงอุณหภูมิจาก $^\circ\text{C}$ เป็น $^\circ\text{F}$

$$25.42^\circ\text{C} = \frac{25.42 \times 9}{5} + 32 = 77.76^\circ\text{F}$$

นำค่า T_3 , RH_3 และ T_4 , RH_4 ไปป้อนในโปรแกรมตริกชาร์ท

$$\text{จะได้ } h_3 = 40.70 \text{ Btu/lb}$$

$$h_4 = 33.50 \text{ Btu/lb}$$

$$\text{จาก EER} = \frac{4.5 \times \text{cfm} \times (h_3 - h_4)}{\text{Watt}}$$

$$\text{EER} = \frac{4.5 \times 356 \times (40.7 - 33.5)}{1,000} = 11.53$$

$$\text{COP} = \frac{\text{EER}}{3.412} = 3.38$$

ใช้ผลการทดลอง ก่อนติดตั้งและหลังติดตั้ง Cooling Pad

$$T_1 = 30^\circ\text{C}, \quad RH_1 = 76\%$$

$$T_2 = 27.8^\circ\text{C}, \quad RH_2 = 89\%$$

หาค่า W_1, W_2 จากไซโโรมเมตริกชาร์ท เพื่อหาผลต่าง $\Delta W = 7.4 \times 10^{-4}$ lbw/lba

พื้นที่หน้าตัดของ Cooling Pad จะได้ 0.125 m^2

จากความเร็วลม 3 m/s

$$\begin{aligned} \text{หาค่า } m_a &= 4.5 \text{ cfm} \\ &= 4.5 \times 0.125 \times 3 \times 35.314 \times 60 \end{aligned}$$

$$\begin{aligned} \text{จาก } m_w &= 4.5 \text{ cfm} (W_2 - W_1) \quad \text{lbw/hr} \\ &= \frac{(4.5 \times 953.4 \times 0.00074)}{3600 \times 2.20} \quad \text{kg/hr} \end{aligned}$$

$$= 0.2865 \quad \text{kg/hr}$$

$$= \frac{0.2865}{1000} \quad \text{m}^3/\text{hr}$$

$$= 2.8 \times 10^{-4} \quad \text{m}^3/\text{hr}$$

อัตราการระเหยที่สภาวะหลังผ่านที่ Cooling Pad จะได้ $2.8 \times 10^{-4} \text{ m}^3/\text{hr}$

ประวัติผู้ทำโครงการ

นายทรงพล เพิ่มทรัพย์ ปัจจุบันศึกษา ณ คณะวิศวกรรมศาสตร์ มหาวิทยาลัยบูรพา ภาควิชา
วิศวกรรมเครื่องกล จบการศึกษาชั้นมัธยมศึกษาปีที่ 6 จากโรงเรียนพนัสพิทยาคาร มีความสนใจใน
วิศวกรรมยานยนต์และอากาศยาน ชอบและถนัดในวิชากลศาสตร์ของไทยและควบคุมอัตโนมัติ

นายดารงน์ เจรัสต์ ปัจจุบันศึกษา ณ คณะวิศวกรรมศาสตร์ มหาวิทยาลัยบูรพา ภาควิชา
วิศวกรรมเครื่องกล จบการศึกษาชั้นมัธยมศึกษาปีที่ 6 จากโรงเรียนหัวยงพิทยา มีความสนใจใน
วิศวกรรมยานยนต์ ชอบและถนัดในวิชากลศาสตร์วัสดุและอุณหพลศาสตร์

นายทนงเดช ประดิษฐ์ ปัจจุบันศึกษา ณ คณะวิศวกรรมศาสตร์ มหาวิทยาลัยบูรพา ภาควิชา
วิศวกรรมเครื่องกล จบการศึกษาชั้นมัธยมศึกษาปีที่ 6 จากโรงเรียนสุนทรภู่พิทยา มีความสนใจใน
วิศวกรรมยานยนต์ ชอบและถนัดในวิชากลศาสตร์วัสดุและระบบปรับอากาศ